arXiv:2601.01143v1 [cs.CL] 3 Jan 2026

KOS-TL（知识操作系统类型逻辑）：可执行知识系统的构造性基础

预印本

Chen Peng*北京语言大学信息科学学院 北京 100081
chenpeng@blcu.edu.cn

2026年1月6日

摘要

随着知识表示从静态数据库转向不断演化的操作系统，传统逻辑在处理事件驱动的状态转换时面临局限。本文提出知识操作系统类型逻辑（KOS-TL），亦称“知行逻辑”。通过将直觉主义依赖类型理论与小步操作语义相结合，KOS-TL 建立了一个统一框架，用于表达静态知识约束、动态状态演化和物理环境细化。

关键词 知识操作系统 ·依赖类型 ·操作语义 ·构造主义 ·形式化验证

1 引言

现代知识系统的核心挑战已从概念建模转向事件驱动环境中操作的执行、可追溯性和验证。传统的描述逻辑（DL）框架植根于静态的模型论语义，难以表达“知识如何更新”以及“操作如何执行”。

知识表示与推理是逻辑的一个重要应用领域。然而，随着大规模数据整合和复杂决策系统的普及，知识表示与推理的研究对象正逐渐从静态知识库转向持续演化的知识操作系统。在面向持续发展的知识操作中，概念建模或本体一致性验证已不再是核心重点；核心挑战已转变为如何在由事件、状态演化和严格工程约束驱动的环境中，对知识执行可执行、可追溯且可验证的操作。

面对知识操作领域的新需求，现有主流逻辑框架（尤其是以描述逻辑（DL）及其语义网实现（如 OWL）为代表的形式系统）在理论假设和语义结构方面，与上述要求存在根本性的不匹配。具体表现在以下几个方面。

(1) 静态语义与动态操作之间的张力 描述逻辑建立在静态模型论语义之上，其核心推理问题围绕概念可满足性、概念包含和实例检查展开。这一范式假定知识描述的是“世界的可能状态”，而非“系统运行时状态”。相比之下，知识操作的核心对象是事件、操作和状态转换，其中的根本问题不再是

*Chen Peng，计算机科学博士 1979年5月出生，来自南丰县， 江西省。

某个断言在某个模型中是否为真，而是某项操作能否合法执行，以及执行后系统状态将如何演变。描述逻辑的模型论语义以静态解释结构为中心，主要目标是刻画“世界在逻辑上可能是什么样的”。概念被解释为个体域的子集，角色被解释为二元关系，而推理问题主要关注可满足性、概念包含和实例检查。这种语义结构天然适用于分类体系、本体工程和术语推理。然而，在知识操作所面临的应用场景中，知识并非静态集合，而是一个随时间持续演变的状态系统。核心问题不再是“某个断言在某个模型中是否为真”，而是“某个事件是否已经发生、某个状态是否已更新，以及这些变化会触发哪些新事实”。描述逻辑并未将事件和状态转换视为一等逻辑对象；它只能通过外部机制或再化间接支持动态过程，这在工程上代价高昂，且语义不透明。

（2）开放世界假设与操作语义之间的根本冲突 描述逻辑所遵循的开放世界假设（Open World Assumption）与知识操作中通常采用的封闭或半封闭世界语义存在根本冲突。在工程实践中，缺失信息通常被视为异常状态或操作失败的依据，而不是逻辑上的“未知”。描述逻辑遵循开放世界假设（Open World Assumption，OWA），其中未知并不等同于错误。在语义网和开放知识环境中，这一假设是合理的，但在知识操作中却往往会成为障碍。在企业治理、风险控制和合规审计等场景中，“缺失记录”本身就构成负面信息或异常状态。知识操作系统的语义更接近封闭世界假设：未出现的事实被视为未发生的事件，而不满足的约束则被视为系统错误。这种以封闭世界和可执行约束为核心的语义取向，使描述逻辑模型中的存在推理难以直接服务于实际系统操作。

（3）概念语义与名义类型语义的差异
描述逻辑中的概念语义是外延性的，通过推理动态确定成员关系；然而，在实际的知识操作中，类型更多地发挥名义性和约束性作用。对象是否属于某种类型，并不是通过逻辑蕴涵推导出来的，而是在数据摄取和操作阶段必须满足的前提，直接决定某项操作是否合法以及流程能否继续。类型错误表现为系统不可执行的状态，而不仅仅是推理失败。这种类型语义与编程语言和操作系统中的类型系统更为相似，而非传统的本体逻辑。

（4）推理目标的根本转变
最后，描述逻辑的推理目标主要是证明逻辑蕴涵，而知识操作中的“推理”则更类似于规则驱动的事实物化——即在给定的当前数据状态下，应立即生成和存储哪些新事实，并将其用于后续计算[2]。推理结果不仅用于回答查询，还会直接改变系统的可观测状态，并对后续操作施加约束。这种推理模式在经典逻辑框架中缺乏直接的形式化刻画。

在知识操作领域，问题不在于逻辑系统是否足够强大，而在于它们能否原生支持事件、时间、状态变化和可执行规则。传统描述逻辑在静态知识表示方面仍不可替代，但其逻辑假设和语义结构并不适合直接用作知识操作系统的内核。上述差异揭示了一个关键的理论缺口：传统逻辑系统尚未为“将知识视为可操作对象”的系统提供统一的形式基础。这直接催生了对一种新逻辑系统的需求：它将事件和状态转换作为核心对象，采用类型驱动的操作语义进行推理，纳入内置类型约束以刻画操作的合法性，支持规则驱动的状态演化，并在可靠性与终止性之间实现工程上可行的平衡。为弥补这一理论缺口，我们提出并研究一种新的形式逻辑系统——“知行逻辑”（知识操作系统类型逻辑，简称 KOS-TL）。KOS-TL 旨在以直觉主义类型论为基础，引入事件化和操作语义，使逻辑系统能够原生刻画知识理解、操作和状态更新的过程，从而为知识操作系统提供一个可验证、可执行且可扩展的逻辑内核。

[2]这种“推理”更接近 Datalog、触发器和操作语义等规则驱动方法，而非以证明论或模型论为核心的经典逻辑推理。

2 KOS-TL 的架构

为兼顾逻辑严谨性与操作表达能力，“知行逻辑”（KOS-TL）被定义为一个分层形式系统。它由三个不同层次的形式定义组成：核心、内核和运行时，各层在逻辑作用和语义承诺方面有所区别（如表1所示）。

表1：KOS-TL 分层结构概览

层	正式名称	核心职责	逻辑对象	可判定性
L0 核心层	静态 真值 层（逻辑）	定义“什么是有效的”。建立类型构造和约束，基于直觉主义依赖类型论（ITT）。	类型 T、证明项 p，命题 P	强可判定
L1 内核	动态转换层（动力学）	定义“如何改变”。引入小步操作语义，以处理事件驱动的状态转换。	状态 σ、事件 e、转换 $\rightarrow$	局部可判定的able
L2 Runtime	环境演化tion 层（系统）	定义“如何运行”。处理外部输入/输出、时间线挂载和非确定性输入。	队列 Q、外部源 $\mathcal{E}_{\text{env}}$	半—可判定的

“知行”逻辑的分层原则如下：

- 逻辑有效性仅由核心层决定；
- 内核层确保操作正确性；
- 系统演化在运行时层中实现。

这种分层设计确保，即使在开放的、非确定性系统演化中，核心逻辑的正确性仍能得到维护。

2.1 L0：核心（核心层）—静态逻辑域

2.1.1 核心层需求分析与逻辑构造

就构造性表达要求而言，传统系统往往只关注数据的静态存储，而在高安全性、高信任场景中，系统必须转向知识存储。”基于 Martin-Löf 的直觉主义类型论（1984年），每个知识条目都定义为一个依赖对 $\Sigma(d:D).P(d)$，其中数据 d 与证明其满足业务本体的凭证 $P(d)$紧密耦合。这种设计从源头消除了“无根数据”，确保所有进入内核的知识都经过构造性验证。物理与逻辑的深度对齐也是另一项关键要求。借助依赖类型（Dependent Types）的表达能力，系统能够将工业或金融领域的物理定律和合规约束内化，而不是依赖外部临时性的逻辑判断。“使非法状态不可表示”这一范式确保任何违反公理的操作尝试都会在类型检查阶段失败，从而维持系统的稳态。此外，为满足高频合规要求，系统引入了计算反身性（Computational Reflexivity）。通过要求核心层描述自身的归约规则，系统能够在每次小步逻辑演化（β，ι，δ归约）执行期间自动合成等价性证明 $\text{Id}(t, t')$。这种全路径自动审计将传统的事后调查提升为运行时实时形式化验证。最后，通过定义精化算子（elab）模板，核心层为运行时（Runtime）信号提供语义提升基准，建立从物理比特（Bits）到逻辑真理（Truth）的唯一映射路径。

2.1.2 总体架构描述

核心层被架构为一个基于依赖类型论的强验证微内核，主要由以下三个功能模块驱动：首先，类型构造器和本体管理器充当系统的立法者，负责将业务领域本体转换为类型系统中的种类（Sorts）和依赖类型结构，明确界定合法对象的边界。其次，归约引擎充当系统的推理机器，通过执行函数应用和结构分解，处理逻辑项的细粒度演化，并计算知识演化后的逻辑稳态。第三，类型检查器充当系统的守门人，通过执行双向类型检查（Bidirectional Type Checking），确保所有进入内核层的操作都满足预验证正确性（构造即正确）。

2.1.3 关键设计决策

核心层的技术选型和架构决策体现了逻辑严谨性与工程可行性之间的平衡。

(1) 以依赖类型理论（MLTT）取代一阶逻辑（FOL）传统知识库依赖一阶逻辑或描述逻辑（DL），导致逻辑断言与具体数据脱节。核心层选择依赖类型理论，利用 Σ 类型实现数据与约束的原子封装。这一决策解决了知识操作中证据缺失这一长期存在的问题，并在架构层面强制落实物理约束。(2) 引入计算反身性与内生审计为了解决传统审计存在延迟且容易被篡改的风险，核心层将归约规则建模为逻辑处理对象。每当状态发生变化，系统便会自动合成一个恒等证明（Identity Proof）。这一设计将审计行为转化为自动化类型检查过程；只要证明链完整，系统行为便能达到绝对合规。(3) 双宇宙系统与命题收缩（Prop-Shrinking）为了解决形式化证明带来的计算开销问题，核心层为复杂建模设计了多层级宇宙（$\mathcal{U}_i$），并引入专用证明空间（Prop）。基于证明无关性（Proof Irrelevance）原则，系统在完成严格验证后，通过类型擦除（Erasure）技术收缩证明细节。这一决策兼顾了逻辑深度与工程效率，支持对大规模实时知识流进行高效处理。(4) 从指称语义转向操作语义传统逻辑强调静态真值，而 KOS-TL 核心层为逻辑项定义了小步归约（Small-step reduction）规则，并将知识操作定义为归约过程。这一决策确保从核心层到内核层的转换无损且具有确定性，使逻辑推理步骤与物理计算步骤实现高度同构。

核心层的设计决策与传统知识库架构之间的比较如表 2 所示。

表 2：传统架构与 KOS-TL 核心层设计决策的比较

设计维度	**传统架构决策**	**KOS-TL 核心层决策**
知识载体	数据库记录 + 外部验证	依赖类型的逻辑项（Terms）证明
约束触发器	运行时拦截 / 业务代码 if-else	类型检查
演化驱动器	数据库事务	逻辑归约
信任根	系统管理员权限 / 日志记录	不可变数学证明链

2.2 L1：内核（内核层）——操作语义定义域

在 KOS-TL 系统的分层架构中，内核层承担着核心功能：将核心层定义的静态真值转化为动态演化驱动力。如果把核心层比作宪法，那么内核层就是行政中枢和动力引擎。其核心目标是通过形式化约简机制，确保知识系统在处理高频业务流和时间流时，保持逻辑确定性和演化连续性。

2.2.1 内核层需求建模：动态演化与状态确定性

对于复杂的知识操作系统，内核层的设计主要解决知识状态的“崩溃”和“生成”问题。首先是因果可追溯性要求：系统规定，知识状态的每次变化都必须具有明确的因果关联，这意味着所有变化都必须追溯到特定的精化事件（Event）。其次是状态一致性要求：尤其是在分布式或并发环境中，必须保证状态转换的原子性，从逻辑层面消除冲突状态。最后是实时性能和进展保证（Progress Guarantee）：系统必须确保在收到有效输入后，能够以逻辑确定的方式演化到下一个稳定状态，避免因非确定性而导致未定义行为或逻辑死锁。

2.2.2 设计方法论：小步操作语义与状态机模式 1

内核层摒弃传统的黑盒批处理，转而建立在形式化的小步操作语义（Small-step Operational Semantics）之上。其方法论的核心在于状态三元组模型。内核将系统抽象为 $\sigma = \langle \mathcal{K}、\ \mathcal{TS}、\ \mathcal{P} \rangle$，其中 $\mathcal{K}$ 表示当前已验证的知识真值集合，$\mathcal{TS}$ 是逻辑时钟与物理锚点的耦合，$\mathcal{P}$ 是已精化但尚未执行的事件队列。内核层本质上以事件为中心，基于 Davidson（1967年）的事件本体论地位，将事件定义为状态转换算子（事件即转换）：每种事件类型都对应一个明确的转换算子；该算子通过同步调用核心层的判断结果，驱动状态从旧状态 σ 单调演化为新状态 σ'。

2.2.3 总体架构描述

作为“逻辑路由器 ”，连接逻辑基础（核心）与物理环境（运行时），内核层协同 作的三个核心模块：

- 事件队列管理器：负责接收来自运行时层的事件包 $\langle e,\ p \rangle$ 精化算子，并执行严格排序（排序）和依赖冲突检测。
- 演化调度器：驱动系统的核心演化循环。该模块采用“查看-验证-归约-确认”流程，即调用核心层在消耗事件前验证前置条件，执行归约操作并验证后置条件。其操作对象始终是逻辑项（Terms），而非底层物理比特。
- 状态镜像：在逻辑层维护最新的真值视图，为运行时层的状态查询和核心层的上下文验证提供一致的上下文。

2.2.4 关键设计决策

（1）强顺序提交与异步展开的解耦

为解决物理信号高频生成与逻辑验证（深度证明）耗时之间的矛盾，内核层采用了“异步展开、顺序提交”的决策。运行时层可以并行执行信号展开，但内核层坚持顺序提交（Sequential Commit）。这一决策确保因果链的唯一性，使知识演化轨迹呈现为确定性的线性路径，从而降低复杂逻辑分支回溯的风险。

（2）闭环演化：前置条件验证与后置条件证据综合

为确保操作后的系统状态继续符合本体定义，内核层建立了“预验证、后综合”的闭环机制。在执行操作之前，内核会强制验证核心层提供的 $Pre(e)$；操作完成后，则会自动触发核心层为 $Post(e)$ 综合一项新的证明。这一决策确保系统始终在已证明为真的状态之间转换，从而消除逻辑真空期。

（3）逻辑时间与物理时间之间的松耦合机制

为了解决分布式网络中物理时间先后顺序与因果逻辑不一致这一痛点，内核层维护独立的逻辑顺序。物理时间戳仅作为证据锚点，只有在物化阶段（运行时）才进行同步。这一设计利用逻辑证明中的时间证据进行重排序，从根本上解决“幻影定时”问题，并确保**因果顺序**绝对保真。

（4）确定性归约

内核层严格禁止非确定性（非确定性）选择。如果某个事件在归约过程中指向多个可能的演化分支，则在核心层中将其视为类型错误。这一设计极大地提升了系统的可预测性：在相同的初始状态和事件序列下，内核层将生成数学上唯一且可复现的知识视图。

2.3 L2：运行时层——系统演化定义域

在 KOS-TL（ZhiXing Logic）的架构中，运行时层被定义为逻辑世界与非确定性物理世界之间的关键锚点。如果说核心层是系统的宪章，内核层是行政枢纽，那么运行时层就是系统的感官、肢体和物理

载体。其核心使命是解决形式逻辑在复杂工程环境中的“最后一公里”问题，实现逻辑语义与底层物理信号之间的无缝整合。

2.3.1 需求建模：物理保真性与环境精化

运行时层的设计旨在解决物理世界与逻辑抽象之间的根本张力。首先是信号提升要求：物理世界生成的原始比特流（原始比特）缺乏内在语义，运行时层需要将其“提升”为具有逻辑内涵的事件对象。其次是资源映射要求：逻辑层输出的抽象状态更新最终必须精确地落实到磁盘比特、内存条目或硬件控制器电压状态中。最后是实时性与并发性要求：在处理高频传感器信号时，系统必须确保低延迟摄取，同时不破坏内核层所维护的因果顺序一致性。

2.3.2 设计方法论：双向映射中的精化与物化 **g**

运行时层的方法论核心在于建立逻辑语义与物理资源之间的双向精化关系。

(1) 精化（Refinement/Elaboration）方法论 系统引入 elab 运算符以实现信号提升。与传统句法解析（Parsing）不同，elab 是一个证明构造过程：它参照核心层的本体模板，为原始信号 p s寻找逻辑证据，从而将其转换为符合内核接口的经证明事件 $\langle e,\ p\rangle$ 。此过程确保进入系统的所有输入都有合法性的形式化依据。(2) 具象化方法论 通过 $\mathcal{M}$ 运算符，运行时层负责将内核层中的抽象知识状态 $\mathcal{K}$ 降解为具体物理形式。例如，将逻辑传输成功断言具象化为数据库中的 ACID 事务，或区块链上的事务条目。具象化机制确保逻辑结论在物理世界中得到忠实执行。

2.3.3 总体架构描述

作为负责 跨域交互的枢纽，运行时层由以下关键组件构成：

- 精化引擎（精化器）：连接物理输入输出设备，负责监控外部中断和传感器数据流，并执行双向精化，将非确定性信号锚定为确定性逻辑事件。
- 物理存储管理器（物理存储管理器）：抽象底层介质差异，管理数据库和内存映射，确保物化操作的原子性和持久化。
- 调度器中继（调度器中继）：作为内核顺序演化的缓冲区，负责并发接收多线程信号并进行有序排队。

2.3.4 关键设计决策

（1）基于精化的输入过滤决策

为了解决传统系统直接读取变量容易受到环境干扰（脏数据）的问题，运行时层规定，所有输入都必须通过精化算子。如果信号无法在核心层构造有效证明 p，则视为无效输入并立即丢弃。这一决策建立了逻辑防火墙，确保内核层不受意外信号污染。

(2) 原子提交栅栏

为解决知识—行动不一致问题（即逻辑更新成功但物理写入失败），运行时层引入了一种类似两阶段提交的栅栏机制。只有在物理层返回写确认（确认）后，逻辑时钟 $\mathcal{TS}$ 才正式前进。这一设计实现了物理存储与逻辑真理之间的精确同步。

（3）资源抽象与多后端即插即用支持 为适配从嵌入式设备到云集群的各种环境，运行时层将物化算子 $\mathcal{M}$ 设计为可插拔后端。这一决策实现了逻辑可移植性：核心层和内核层的逻辑公理保持不变，只需替换运行时层后端，即可实现跨平台语义一致性。

(4) 确定性轨迹重放与灾后自愈

鉴于物理环境并不可靠，运行时层会完整记录所有精化事件的原始轨迹。借助内核层的确定性归约特性，系统在发生故障后可以重放事件流，从逻辑上重新推导并修复物理配置。这一决策赋予系统极强的逻辑鲁棒性和自愈能力。

层级 整个 KOS-TL 系统的层级结构和稳定性保证如表3所示 .

表3：系统层级结构与稳定性保证

层	核心重点	核心算子	稳定性保证
L0：核心	知识的静态结构	Π, Σ, 命题	类型检查（类型检查）
L1：内核	基于事件的状态转换	STEP, Ev	证明验证（证明验证）
L2：运行时	现实与逻辑之间的映射	精化算子 $\mathcal{M}$	事务一致性（事务一致性）

3 KOS-TL 核心层：静态逻辑基础

核心层是 KOS-TL 系统的“形式宪章”，以直觉依赖类型论为基础。其核心任务是定义知识的静态结构、逻辑约束及其有效性证明，为上层执行提供不可更改的逻辑基础。它不随时间变化，只负责定义什么构成“合法构造”。

3.1 语法

3.1.1 定义域（$\mathcal{D}_{Core}$）

定义域（$\mathcal{D}_{Core}$） 核心层的世界由双轴结构构成：一条是数据轴，另一条是 e 逻辑轴。

- **双轴宇宙**:
  – **计算轴（$\mathcal{U}_i$）**：遵循谓词性。$\mathcal{U}_0$ 包含基本类型（种类），$\mathcal{U}_{i+1}$ 则将 $\mathcal{U}_i$ 作为一个元素。用于对具有物理效应的数据进行建模。– **逻辑轴（类型$_i$）**：遵循谓词性，但其基本命题 Prop : Type$_1$ 具有非谓词性。Type$_i$ 用于对逻辑谓词空间和元逻辑规则进行建模。– **层级关系**：* Prop : Type$_1$，Type$_i$: Type$_{i+1}$* $\mathcal{U}_i$： $\mathcal{U}_{i+1}$, $\mathcal{U}_i$： Type$_{i+1}$（计算宇宙可以成为逻辑讨论的对象）* Prop $\hookrightarrow \mathcal{U}_1$（命题可以嵌入数据轴）

- **基本类型**：值（原子值）、时间（时间点标量）、标识符（唯一标识符）。
- **知识对象**：所有依赖记录类型的实例。

3.1.2 语法

- **类型构造（类型）**：

$$
\begin{aligned}
A, B ::= {} & \mathsf{Prop} \mid \mathsf{Type}_i \mid \mathcal{U}_i && \text{(Universes)} \\
\mid {} & \mathsf{Val} \mid \mathsf{Time} \mid \mathsf{ID} && \text{(Base Sorts)} \\
\mid {} & \Pi(x:A).B \mid \Sigma(x:A).B \mid A + B \mid \mathsf{Id}_A(a,b) && \text{(Constructors)}
\end{aligned}
$$

- **项构造（项）**：

$$
\begin{aligned}
t, u ::= {} & x \mid \lambda x.t \mid t\,u && (\Pi \text{ Intro/Elim}) \\
\mid {} & \langle t, u \rangle \mid \mathsf{split}(t, x.y.u) && (\Sigma \text{ Intro/Elim}) \\
\mid {} & \mathsf{inl}(t) \mid \mathsf{inr}(t) \mid \mathsf{case}(t, x.u, y.v) && (+ \text{ Intro/Elim}) \\
\mid {} & \mathsf{refl} && (\text{Id Intro})
\end{aligned}
$$

- **判断**:
  – $\Gamma \vdash A : \mathcal{S}$: 表示 A 是一个有效类型，其中 $\mathcal{S} \in \{\mathsf{Type}_i,\ \mathcal{U}_i\}$。– $\Gamma \vdash t : A$: 表示 t 是类型 A 的有效实例（对于数据轴），或一个有效证明（对于逻辑轴）。– $\Gamma \vdash A \equiv B$ 和 $\Gamma \vdash t \equiv u$: 表示类型或项在计算上等价（转换规则）。

为保持核心层的简洁性，Prop 中的逻辑运算通过$\mathcal{U}$中的类型构造算子来实现。具体的语义映射关系如表4所示。

关于 Prop 的特殊性质，KOS-TL Core 遵循**证明无关性** 原则：对于任意 P: Prop，若$p, q : P$，则在语义上 $[\![p]\!] = [\![q]\!]$。

表4：逻辑命题与类型之间的同构

逻辑命题（命题）	**类型构造（$\mathcal{T}$）**	**项构造（项）**
全称量词 $\forall x : A.\, P(x)$	依赖积 $\Pi(x : A).P$	$\lambda x.\, p$
存在量词 $\exists x : A.\, P(x)$	依赖和 $\Sigma(x : A).P$	$\langle a, p\rangle$
逻辑蕴涵 $P \to Q$	函数空间 $P \to Q$	$\lambda p.\, q$
逻辑合取 $P \wedge Q$	乘积类型 $P \times Q$	$\langle p, q\rangle$
逻辑析取 $P \vee Q$	和类型 $P + Q$	inl(p)/inr(q)

根据项和类型的构造规则，KOS-TL 核心层的类型集合 $\mathcal{T}$ 由以下规则归纳定义。

(1) 基本规则

$\mathsf{Prop} : \mathsf{Type}_1$ （逻辑轴起点）$\mathsf{Type}_i : \mathsf{Type}_{i+1}$ （逻辑宇宙累积）$\mathcal{U}_i : \mathcal{U}_{i+1}$ （数据宇宙累积）
$\mathsf{Prop} \hookrightarrow \mathcal{U}_1$ （提升规则：命题可以被视为数据处理，这是一种隐式强制转换）

$\mathsf{Prop} \hookrightarrow \mathcal{U}_1$ 是一种单向嵌入，允许将证明嵌入数据记录中的对象（例如 Σ类型），但不能直接将 $\mathcal{U}_i$ 中的普通数据用作逻辑推导的命题。原子类型：$\mathsf{Val} \in \mathcal{T}$，$\mathsf{Time} \in \mathcal{T}$，$\mathsf{ID} \in \mathcal{T}$。

（2）依赖积构造

- 逻辑／计算混合规则:

$$\frac{\Gamma \vdash A : \mathsf{Type}_i / \mathcal{U}_i \quad \Gamma, x : A \vdash B : \mathsf{Prop}}{\Gamma \vdash \Pi(x : A).B : \mathsf{Prop}} (\text{Impredicative})$$

- 纯宇宙规则:

$$\frac{\Gamma \vdash A : \mathsf{Type}_i \quad \Gamma, x : A \vdash B : \mathsf{Type}_j}{\Gamma \vdash \Pi(x : A).B : \mathsf{Type}_{\max(i,j)}} (\text{Predicative})$$

Prop 具有一种称为非谓词性（Impredicativity）的特殊属性。无论 A 的层级有多高，只要 B 属于 Prop，那么 $\Pi(x : A).B$ 通常仍属于 Prop。含义：这使我们能够对“无限对象”进行逻辑判断。例如，“对于 $\mathcal{U}_1$中的所有类型，它们都满足安全性属性 P”，这一判断本身仍只是一个简单的 Prop（真或假），不会膨胀成超级复杂的类型。

（3）依赖和构造

为防止逻辑悖论（类似于吉拉德悖论），KOS-TL 中的类型必须是谓述性的。若 A 是类型，Σ 一种类型，并且在变量假设下则：

$$\frac{\Gamma \vdash A : \mathcal{U}_i \quad \Gamma, x : A \vdash B : \mathcal{U}_j}{\Gamma \vdash \Sigma(x : A).B : \mathcal{U}_{\max(i,j)}}$$

注：若为 $A, B \in \mathcal{U}$，结果位于 $\mathcal{U}$；若涉及证明提取，则最高层级受逻辑轴宇宙限制。依赖和构造对知识对象进行建模。Σ 类型是 KOS-TL 的核心，要求数据 x 与证明项 p 相关联： $B(x)$。

(4) 和类型构造

如果 A 和 B 分别是有效类型，那么它们的析取和（不交并）也是一种类型：

$$\frac{\Gamma \vdash A : \mathcal{U} \quad \Gamma \vdash B : \mathcal{U}}{\Gamma \vdash A + B : \mathcal{U}}$$

和类型在逻辑中表示“析取（$\vee$）”关系。在制造场景中，它用于建模“互斥状态”或“替代路径”。例如，任务的状态要么是成功，要么是失败。

（5）恒等类型构造

如果 A 是一种类型，并且 u，v 是类型 A的两个项，那么：

$$\frac{\Gamma \vdash A : \mathcal{U} \quad \Gamma \vdash u : A \quad \Gamma \vdash v : A}{\Gamma \vdash \mathsf{Id}_A(u, v) : \mathsf{Prop}}$$

恒等类型构造刻画了知识等价性，为在“因果追踪”和“状态回滚”过程中判断两个事实是否一致提供了逻辑基础。

在 KOS-TL Core 中，Prop 是一个专门用于处理逻辑断言的特殊定义域。与普通的 $\mathcal{U}_i$不同，它在 Π构造下具有非谓词性。

定义 1. 非谓词性 Π 构造规则

对于任意层级类型 $A : \mathcal{U}_i$，若在假设 $x : A$的条件下，B 是一个命题，那么其全称量词（或函数空间）仍映射回最小命题世界：

$$\frac{\Gamma \vdash A : \mathcal{U}_i \quad \Gamma, x : A \vdash B : \mathit{Prop}}{\Gamma \vdash \Pi(x : A).B : \mathit{Prop}}$$

逻辑闭包点：这意味着，随着量词作用域的扩大，命题的复杂度不会提升到更高的层级。这一性质使我们能够针对完整数据（甚至是处于 $\mathcal{U}_k$层级的对象）作出一致性断言，而不会引发宇宙爆炸。

定义 2. 宇宙提升与包含规则

为支持双轴语义的闭包，系统引入以下隐式转换：

- 从计算到逻辑的观察：

$$\frac{\Gamma \vdash A : \mathcal{U}_i}{\Gamma \vdash A : \mathit{Type}_{i+1}}$$

这意味着任何计算类型都可以被视为逻辑命题的讨论对象（例如，在类型层面讨论 *SensorData* 的代数性质）。

- 命题的计算嵌入：

$$\frac{\Gamma \vdash P : \mathit{Prop}}{\Gamma \vdash P : \mathcal{U}_1}$$

这使得逻辑证明项 $p : P$ 能够被封装到 Σ 记录中，作为实时计算系统的输入（即“带证明的数据包”）。

3.1.3 判断规则

为确保上述构造在逻辑上是良构的，KOS-TL Core 遵循以下推导规则。

（1）依赖积（Π-类型）

- 引入规则

对于 Π 类型，其构造（引入）规则为：

$$\frac{\Gamma, x : A \vdash t : B}{\Gamma \vdash \lambda x : A.t : \Pi(x : A).B}$$

在当前上下文 Γ 中，如果我们假设一个类型为 A 的变量 x，并且可以构造一个类型为 B 的项 t，那么我们就可以构造一个 λ 抽象（即函数），其类型为 $\Pi(x : A).B$。

- 消去规则
  对于 Π 类型，有一个通用规则 f（类型为 $\Pi(x:A).B$），以及一个具体对象 a（类型为 A）。将 f 应用于 a（记作 $f\,a$）后，会得到一个类型为 $B[a/x]$的结果。在结果类型中，所有 x 都替换为具体值 a。

$$\frac{\Gamma \vdash f : \Pi(x:A).B \quad \Gamma \vdash a : A}{\Gamma \vdash f\,a : B[a/x]}$$

（2）依赖和（Σ-类型）

- 引入规则
  对于 Σ 类型，其构造（引入）规则为：

$$\frac{\Gamma \vdash a : A \quad \Gamma \vdash b : B[a/x]}{\Gamma \vdash \langle a, b\rangle : \Sigma(x:A).B}$$

  引入规则体现了“构造即证明”：只有当你能够提供满足$B(a)$的证据 b 时，才能创建知识对象。

- 消去规则
  对于 Σ 类型，我们定义一个通用的依赖消去算子 split。它允许通过对 pair 结构进行模式匹配，构造一个依赖于整个 pair 的目标项。

$$\frac{\Gamma \vdash p : \Sigma(x:A).B \quad \Gamma, x:A, y:B \vdash t : C[\langle x, y\rangle/z]}{\Gamma \vdash \mathsf{split}(p, x.y.t) : C[p/z]}$$

  传统的投影算子可以定义为 split 的特例：

$$\mathsf{proj}_1(p) \text{ (left projection)} \equiv \mathsf{split}(p, x.y.x)$$
$$\mathsf{proj}_2(p) \text{ (right projection)} \equiv \mathsf{split}(p, x.y.y)$$

(3) 和类型（$A + B$）

- 引入规则
  引入规则定义了如何创建类型 $A + B$ 的对象。它有两个分支，分别对应“左选择”和“右选择”。

$$\frac{\Gamma \vdash a : A}{\Gamma \vdash \mathsf{inl}(a) : A + B} \qquad \frac{\Gamma \vdash b : B}{\Gamma \vdash \mathsf{inr}(b) : A + B}$$

  如果存在类型为 A 的证据 a，则可以通过标签 inl（左引入）将其包装为类型 $A + B$。类似地，类型为 B 的证据 b，则可以通过 inr（右引入）将其包装为 $A + B$。
- 消去规则
  消去规则定义了如何安全地使用类型为 $A + B$ 的对象。由于无法确定其内部是 A还是 B，因此必须准备两种方案。

$$\frac{\Gamma \vdash s : A + B \quad \Gamma, x:A \vdash t : C \quad \Gamma, y:B \vdash u : C}{\Gamma \vdash \mathsf{case}(s, x.t, y.u) : C}$$

  $s:\ A + B$ 是输入。$\Gamma,\ x:\ A \vdash t:\ C$ 是方案一。如果最终证明 s 的类型为 A，则提取其中的数据并交给 x，然后根据逻辑 t 计算出类型为 C 的结果。$\Gamma,\ y:\ B \vdash u:\ C$ 是方案二。如果 s 的类型为 B，则将数据交给 y，并根据逻辑 u 计算出类型为 C 的结果。case(s, $x.t$, $y.u$) : C表示，无论 s 选择哪条路径，最终都能得到类型为 C 的确定性结果。

(4) 转换规则

$$\frac{\Gamma \vdash t : A \quad \Gamma \vdash A \equiv B \quad \Gamma \vdash B : \mathcal{S}}{\Gamma \vdash t : B}$$

此规则确保：如果项 t 在 $\mathcal{U}_1$中有效，且满足 $\mathcal{U}_1 \hookrightarrow$ 类型$_2$，那么 t 自动具有在更高层级进行观测的有效性。

3.1.4 归约规则

我们用 $\to$ 表示单步归约（单步归约），用 $\twoheadrightarrow$ 表示多步归约（计算闭包）。

(1) 函数归约（β-归约），适用于 Π类型构造（λ 抽象）：

$$\overline{\Gamma \vdash (\lambda x : A.t)\, u \to t[u/x]}$$

(2) 依赖记录归约（ι-归约）
适用于 Σ 类型的结构化消去。这是核心修正点，通过 split 算子直接解构配对：

$$\overline{\Gamma \vdash \mathsf{split}(\langle u, v\rangle, x.y.t) \to t[u/x, v/y]}$$

根据这一定义，传统的投影归约可以自然地导出为特例：

- 左投影：
$$\mathsf{proj}_1(\langle u, v\rangle) \equiv \mathsf{split}(\langle u, v\rangle, x.y.x) \to u$$
- 右投影：
$$\mathsf{proj}_2(\langle u, v\rangle) \equiv \mathsf{split}(\langle u, v\rangle, x.y.y) \to v$$

（3）和类型归约（ι-归约）
对于 $+$ 类型的分支判断。通过 case 算子匹配标签：

$$\overline{\Gamma \vdash \mathsf{case}(\mathsf{inl}(u), x.t, y.v) \to t[u/x]} \qquad \overline{\Gamma \vdash \mathsf{case}(\mathsf{inr}(w), x.t, y.v) \to v[w/y]}$$

（4）恒等项归约（ι-归约）
当判断项归约为 refl 时，恒等判断便会自动成立。

为了支持工程实践中的模块化定义和局部变量，系统定义了以下辅助转换规则。与核心归约（β，ι）不同，这些转换通常在类型检查器执行**等价判断（转换检查）**阶段按需触发，且不计入核心逻辑步骤。

- 全局展开（δ-转换）：如果项 c 定义为 $c := t : A$，且位于上下文 Γ中，则在等价判断期间允许展开：

$$\frac{(c := t : A) \in \Gamma}{\Gamma \vdash c \equiv_\delta t}$$

含义：允许系统识别别名（Alias）与其原始定义在逻辑上是同一对象。

- 局部绑定展开（ζ-转换）：
对于 let 结构的局部定义，其语义等价于立即进行替换：

$$\Gamma \vdash (\mathsf{let}\ x = u\ \mathsf{in}\ t) \equiv_\zeta t[u/x]$$

含义：支持在不增加函数调用开销的情况下复用局部项（β）。

- 外延等价（η-转换）：
为确保函数一致性，系统支持函数外延性判断：

$$\Gamma \vdash \lambda x : A.(f\, x) \equiv_\eta f \quad (x \notin \mathrm{FV}(f))$$

含义：确保函数抽象与直接引用之间的行为一致性，支持函数式编程范式。

δ 和 ζ 确保系统具有定义透明性（定义透明性），这意味着引用名称不会改变逻辑项的语义本质。

定义 3. 定义等价

KOS-TL 中的判断等价关系 $\equiv$ 是由上述所有归约（β、ι）和转换（δ、ζ、η）生成的最小等价关系（满足对称性、传递性和同余性）。

3.2 核心层的逻辑属性

定义 4. 范式

当且仅当项 t 不含任何范式 （可约表达式）时，称其处于可约表达式 （记作 $t \in NF$）。也就是说，对于 *KOS-TL Core* 中定义的归约关系 $\to$，不存在项 t' 使得：

$$t \to t'$$

定义 5. 强规范化（*SN*）

项 t 是强正规化的，当且仅当不存在从 t开始的无限归约序列。也就是说，所有可能的归约路径 $t \to t_1 \to t_2 \dots$ 都会在有限步内终止于某个范式。

定义 6. 可约性候选集（Red_A）

对于任意类型 A 和项 $t : A$，可约性候选集 $Red_A \subseteq Val_A$ 按照 A的结构归纳定义如下：

(1) 宇宙类型情形

- $A \equiv \mathcal{U}_i$

$$t \in Red_{\mathcal{U}_i} \iff t \in \mathcal{RC} \land level(t) < i$$

其中 $\mathcal{RC}$ 是满足 *CR* 性质（强正规化、稳定性、中性项构造）的所有项组成的集合。

- $A \equiv$ 类型$_i$

$$t \in Red_{Type_i} \iff t \in \mathcal{RC} \land level(t) < i$$

- 跨轴约束：由于$Prop$: 类型$_1$，因此 $Prop \in Red_{\text{类型}_1}$。由于$Val$: $\mathcal{U}_0$，因此 $Val \in Red_{\mathcal{U}_1}$。

(2) 基础类型情形

- $A \equiv$ 值

$$t \in Red_A \iff t \in SN \land \exists c \in Const_{\mathbb{N}}.\, t \to^* c$$

- $A \equiv$ 时间$t \in Red_A \iff t \in$ 强正规化 $\land\, t$ 表示有效的时间戳或持续时间（即，$t \to^*$ 时间戳(n) 或 $t \to^*$ 持续时间(n) 对于 $n \in \mathbb{N}$）

(3) 构造类型情形

- $A \equiv \Pi(x : B).C$

$$t \in Red_A \iff \forall u \in Red_B.\, (t\ u) \in Red_{C[u/x]}$$

- $A \equiv \Sigma(x : B).C$

$$t \in Red_{\Sigma(x:B).C} \iff t \twoheadrightarrow \langle u, v\rangle \land u \in Red_B \land v \in Red_{C[u/x]}$$

$$t \in Red_A \iff t \in SN \land (t \to^* \mathsf{inl}(u) \implies u \in Red_B) \land (t \to^* \mathsf{inr}(v) \implies v \in Red_D)$$

- $A \equiv Id_B(a, b)$

$$t \in Red_A \iff t \in SN \land (t \to^* \mathsf{refl}(w) \implies w \in Red_B \land a \equiv_B w \land b \equiv_B w)$$

其中：

- 常量$_{\mathbb{N}}$ 是自然数常量（数值常量）的集合。
- $\to^*$ 表示 $\beta\eta$-归约的多步闭包。
- $\equiv_B$ 表示类型 B 下的可归约性等价：$p \equiv_B q \iff \exists v \in Red_B.\, (p \to^* v \land q \to^* v)$。

• 对于时间，必须预先定义“有效时间戳或持续时间”的精确语义（例如，时间戳(n)表示 *Unix* 时间戳 n，持续时间(n) 表示 n 毫秒持续时间），以确保形式化。

需要注意的是，对 *Prop* 的解释不依赖于其宇宙层级。

定义 7。 中性项 在 *KOS-TL* 核心层中，项 t 是<*style id='4'*>中性项 当且仅当其满足以下两个条件之一：

(1) t 是一个变量 x。

(2) t 的头部 *(Head)* 是一个变量，并且该项正处于消去 *(Elimination)* 过程中，但无法进一步归约。

类型 A 的可约性集合 Red_A 必须满足三项关键饱和性质（饱和性质），通常称为 $CR1$、$CR2$ 和 $CR3$。

定义 8. 可约性候选集 Red_A 的饱和性质

(1) ***CR 1***（包含性）如果 $t \in Red_A$，那么 $t \in SN$（即 t 必须首先是强正规化的）。*(2)* ***CR 2***（稳定性）如果 $t \in Red_A$ 且 $t \to t'$，那么 $t' \in Red_A$。*(3)* ***CR 3***（中性项构造）如果 t 是中性项，且 t 的所有单步归约项 t' 都属于 Red_A，那么 $t \in Red_A$。所有变量都是中性项。

引理 1. 替换引理

如果 $\Gamma, x:\ B, \Delta \vdash t:\ A$ 且 $\Gamma \vdash u:\ B$，那么 $\Gamma, \Delta[u/x] \vdash t[u/x]:\ A[u/x]$。这里，$\Delta$ 是一个通用上下文，用于处理在 x 之后定义且依赖于 x的变量。在简单情况下，Δ 为空。

证明。 对类型推导树的结构进行归纳证明。根据 t的构造规则，讨论以下核心情形：

(1) **变量情形（变量）**假设 t 是一个变量 y。

• **子情形 1：** $y = x$根据推导规则，此时为 $A = B$。我们需要证明 $\Gamma,\ \Delta[u/x] \vdash x[u/x]:\ B[u/x]$。由于 $x[u/x] = u$，且前提为 $\Gamma \vdash u:\ B$。根据上下文弱化规则（弱化），可以将$\Delta[u/x]$ 添加到 Γ 之后，因此结论成立。

• **子情形 2：** $y \neq x$此时，y 必须在 Γ 或 Δ中定义。若 $y \in \Gamma$，则 $y[u/x] = y$ 和 $A[u/x] = A$（因为 Γ 中的类型不依赖于 x），结论显然成立。若 $y \in \Delta$，则 $y[u/x] = y$，其类型为 $A[u/x]$，这正是 $\Delta[u/x]$中对应的声明。

(2) **Π-类型引入（λ-抽象）**
假设 $t = \lambda y:\ C.M$，并且 $A = \Pi(y : C).D$.
最后一个推导步骤是

$$\frac{\Gamma, x : B, \Delta, y : C \vdash M : D}{\Gamma, x : B, \Delta \vdash \lambda y : C.M : \Pi(y : C).D}$$

• 应用归纳假设：在 M 上使用归纳假设（当前上下文为 $\Delta, y:\ C$）：

$$\Gamma, \Delta[u/x], y : C[u/x] \vdash M[u/x] : D[u/x]$$

• 构造结论：应用 Π引入规则：

$$\Gamma, \Delta[u/x] \vdash \lambda y : C[u/x].M[u/x] : \Pi(y : C[u/x]).D[u/x]$$

这等价于 $(\lambda y:\ C.M)[u/x] : (\Pi(y:\ C).D)[u/x]$。

(3) **Π-类型消去（应用）**
假设 $t = (f\ v)$，其中 $\Gamma,\ x:\ B, \Delta \vdash f:\ \Pi(y:\ C).D$ 以及 $\Gamma,\ x:\ B,\ \Delta \vdash v:\ C$。

- 归纳假设 1：$\Gamma,\ \Delta[u/x] \vdash f[u/x]:\ (\Pi(y:\ C).D)[u/x]$.
- 归纳假设2：$\Gamma, \Delta[u/x] \vdash v[u/x]:\ C[u/x]$。
- 组合：应用消去规则：

$$(f[u/x]\ v[u/x]) : D[u/x][v[u/x]/y]$$

根据替换的交换律，上述类型等价于 $D[v/y][u/x]$，即 $A[u/x]$.

(4) **Σ-类型构造（配对）**假设 $t = \langle t_1, t_2\rangle$，且 $A = \Sigma(y:\ C).D$。

- 根据归纳假设，$t_1[u/x]:\ C[u/x]$。
- 根据归纳假设，$t_2[u/x]:\ D[t_1/y][u/x]$。
- 根据规则，构造 $\langle t_1[u/x],\ t_2[u/x]\rangle : (\Sigma(y:\ C).D)[u/x]$。

(5) **Σ-类型消去 （结构化消去）**假设 $t = \mathsf{split}(p,\ x.y.u)$，且最后一个推导步骤为：

$$\frac{\Gamma, z : B, \Delta \vdash p : \Sigma(x : A).B \quad \Gamma, z : B, \Delta, x : A, y : B \vdash u : C(\langle x, y\rangle)}{\Gamma, z : B, \Delta \vdash \mathsf{split}(p, x.y.u) : C(p)}$$

（这里 $z:\ B$ 是我们要替换的变量）

- **归纳 归纳假设1**：将归纳假设应用于 p，得到 $\Gamma,\ \Delta[v/z] \vdash p[v/z]:\ (\Sigma(x : A)[v/z].B)[v$
- **归纳假设2**：将归纳假设应用于消去体 u （现在添加了上下文 $x,\ y$）：

$$\Gamma, \Delta[v/z], x : A[v/z], y : B[v/z] \vdash u[v/z] : C(\langle x, y\rangle)[v/z]$$

- **构造结论**：重新应用 Σ-消去规则（分裂规则）：

$$\Gamma, \Delta[v/z] \vdash \mathsf{split}(p[v/z], x.y.u[v/z]) : C(p)[v/z]$$

Since $\mathsf{split}(p, x.y.u)[v/z] = \mathsf{split}(p[v/z], x.y.u[v/z])$, the conclusion holds.

（6） **+-类型介绍（注入）**A
假设 $t = \mathsf{inl}_D(s)$, and $A = C + D$ （inr 情形对称）。

- **前提**：已知 $\Gamma,\ x:\ B,\ \Delta \vdash s:\ C$ 以及 $\Gamma,\ x:\ B,\ \Delta \vdash D:\ \mathcal{U}$。
- **归纳假设**：对于 $s,\ s[u/x]:\ C[u/x]$; 对于类型 $D,\ D[u/x]:\ \mathcal{U}$。
- **构造结论**：应用 +-引入规则：

$$\Gamma, \Delta[u/x] \vdash \mathsf{inl}_{D[u/x]}(s[u/x]) : C[u/x] + D[u/x]$$

i.e., $(\mathsf{inl}_D(s))[u/x] : (C + D)[u/x]$.

（7） **+-类型消去（分支判断）**
假设 $t = \mathsf{case}(s,\ y.t_1,\ z.t_2)$，且最后一个推导步骤为：

$$\frac{\Gamma', s : C + D \quad \Gamma', y : C \vdash t_1 : A \quad \Gamma', z : D \vdash t_2 : A}{\Gamma' \vdash \mathsf{case}(s, y.t_1, z.t_2) : A}$$

（其中 Γ' 缩写为 $\Gamma,\ x:\ B,\ \Delta$）

- **归纳假设 1**：对于判断项 $s,\ \Gamma,\ \Delta[u/x] \vdash s[u/x]:\ C[u/x] + D[u/x]$。
- **归纳假设2**：对于左分支 t_1（现在添加了上下文 $y:\ C$），$\Gamma,\ \Delta[u/x],\ y:\ C[u/x] \vdash t_1[u/x]:\ A[u/x]$。
- **归纳假设 3**：对于右分支 t_2（现在添加了上下文 $z:\ D$），$\Gamma,\ \Delta[u/x],\ z:\ D[u/x] \vdash t_2[u/x]:\ A[u/x]$。
- **组合**：应用 +-消去规则（分情况规则）：

$$\Gamma, \Delta[u/x] \vdash \mathsf{case}(s[u/x], y.t_1[u/x], z.t_2[u/x]) : A[u/x]$$

结论成立。

(8) **恒等类型（恒等）**
如果 $t =$ 是 fl^{a}，那么 $A = \mathsf{Id}_C(a,\ a)$。

- 根据归纳假设，$a[u/x]:\ C[u/x]$。
- 直接应用构造规则，得到 $\mathsf{refl}^{a[u/x]} : \mathsf{Id}^{C[u/x]}(a[u/x],\ a[u/x])$，即 $A[u/x]$。

□

引理 2. 可约性的基本引理

设 $\Gamma = \{x_1 :\ A_1, \ldots, x_n :\ A_n\}$ 是一个良构上下文。若 $\Gamma \vdash t :\ C$，且存在一个可约替换$\gamma = [u_1/x_1, \ldots, u_n/x_n]$，使得对于所有 i, $u_i \in \mathit{Red}^{A_i}$。
那么替换后的项 $t[\gamma]$ 必须满足：

$$t[\gamma] \in \mathit{Red}_C$$

证明。 对类型推导树的结构进行归纳证明。

(1) **变量规则（变量）**
若推导为 $\Gamma \vdash x_i :\ A_i$。根据替换定义，$x_i[\gamma] = u_i$。根据前提$u_i \in \mathsf{Red}^{A_i}$，该命题显然成立。

(2) **Π-类型引入（λ-抽象）**若 $\Gamma \vdash \lambda x :\ A.M :\ \Pi(x :\ A).B$。
需要证明：对于任意 $u \in \mathsf{Red}_A$，$((\lambda x :\ A.M)[\gamma]\, u) \in \mathsf{Red}^{B[u/x]}$。

(a) 该项 β-归约为 $M[\gamma, u/x]$。(b) 由于 $u \in \mathsf{Red}_A$ 且 $\gamma \in \mathsf{Red}_\Gamma$，因此 $(\gamma,\ u/x)$ 是上下文 $(\Gamma,\ x :\ A)$ 下的一个可约替换。(c) 根据归纳假设，$M[\gamma, u/x] \in \mathsf{Red}_B$。(d) 由于可约性集合在反向归约下封闭，$(\lambda x :\ A.M)[\gamma] \in \mathsf{Red}^{\Pi(x:A).B}$。

(3) **Π-类型消去（应用）**
若 $\Gamma \vdash (f\ v) :\ C$，其中 $C = B[v/x]$ 和 $\Gamma \vdash f :\ \Pi(x :\ A).B,\ \Gamma \vdash v :\ A$。

(a) 根据归纳假设，$f[\gamma] \in \mathsf{Red}^{\Pi(x:A).B}$。(b) 根据归纳假设，$v[\gamma] \in \mathsf{Red}_A$。(c) 根据 Red_Π 的定义：如果一个项属于某个 Π 类型的可约性集合，那么将它应用于参数类型的可约性集合中的任意项后，所得结果必须属于结果类型的可约性集合。(d) 因此，$(f[\gamma]\, v[\gamma]) \in \mathsf{Red}^{B[v[\gamma]/x]}$。(e) 由于 $(f[\gamma]\, v[\gamma]) = (f\ v)[\gamma]$ 和 $B[v[\gamma]/x] = C[\gamma]$，结论成立。

(4) **Σ-类型引入（配对）**
如果 $\Gamma \vdash \langle a,\ b\rangle :\ \Sigma(x :\ A).B$。

(a) 根据归纳假设，$a[\gamma] \in \mathsf{Red}_A$。
(b) 根据归纳假设，$b[\gamma] \in \mathsf{Red}^{B[a[\gamma]/x]}$。(c) 根据

Red_Σ 的定义，如果两个分量都可约，那么 $\langle a,\ b\rangle[\gamma] \in \mathsf{Red}^{\Sigma(x:A).B}$。

(5) **Σ-类型消去（split 算子）**
若 $\Gamma \vdash \mathsf{split}(p, x.y.t) :\ C$，其中 $\Gamma \vdash p :\ \Sigma(x :\ A).B$。

(a) **归纳假设**：根据归纳假设，$p[\gamma] \in \mathsf{Red}^{\Sigma(x:A).B}$。这意味着 $p[\gamma]$ 是强正规化的，并最终归约为某个配对 $\langle u,\ v\rangle$，其中 $u \in \mathsf{Red}_A,\ v \in \mathsf{Red}^{B[u/x]}$。(b) **归约分析**：根据 ι-归约，$\mathsf{split}(p[\gamma],\ x.y.t[\gamma]) \twoheadrightarrow t[\gamma, u/x, v/y]$。(c) **应用归纳假设**：由于 $(\gamma,\ u/x,\ v/y)$ 是上下文 $(\Gamma,\ x :\ A,\ y :\ B)$ 下的有效可约替换，对 t 应用归纳假设可得：

$$t[\gamma, u/x, v/y] \in \mathsf{Red}_C$$

(d) **闭包**：利用可约性集合在逆向 ι-归约下的闭包性（这是 CR 3 性质的推论），原始项 split(p, $x.y.t$)[γ] 也属于 Red$_C$。

(6) **+类型引入（注入）**

如果 $\Gamma \vdash \mathsf{inl}(a) : A + B$（inr 同理）。

（a）根据归纳假设，$a[\gamma] \in \mathsf{Red}_A$。（b）根据 Red_{A+B} 的定义（通常通过中性项和注入性质定义）：由于 $a[\gamma]$ 是可约的，其注入项 inl($a[\gamma]$) 在 +类型可约性系统中也是可约的（使用反向归约闭包）。（c）因此，inl(a)[γ] $\in \mathsf{Red}_{A+B}$。

(7) **和类型消去（分情况讨论）**

If $\Gamma \vdash \mathsf{case}(t,\ x.M,\ y.N) :\ C$。

(a) 根据归纳假设，$t[\gamma] \in \mathsf{Red}_{A+B}$。(b) $t[\gamma]$ 归约为 inl(u) 或 inr(v)。假设为 inl(u)，则 $u \in \mathsf{Red}_A$。(c) 此时，case 项归约为 $M[\gamma, u/x]$。(d) 根据归纳假设，$M[\gamma, u/x] \in \mathsf{Red}_C$。inr 情形同理。

(8) **恒等类型引入（refl）**

如果 $\Gamma \vdash \mathsf{refl}_a :$ 标识符$_A(a,\ a)$。

(a) 根据归纳假设，$a[\gamma] \in \mathsf{Red}_A$。(b) 显然，$a[\gamma] \cong a[\gamma]$和 refl $\in$ 均为强正规化。(c) 因此，$\mathsf{refl}_{a[\gamma]} \in \mathsf{Red}_{\mathsf{Id}_A(a[\gamma],a[\gamma])}$。

(9) **δ-归约与局部定义（let）**

若 $\Gamma \vdash$ 令 $x = u$ 为 $t :\ C$。

(a) 根据归纳假设，$u[\gamma] \in \mathsf{Red}_A$。(b) 构造扩展替换 $\gamma' = [\gamma, u[\gamma]/x]$。由于 $u[\gamma]$ 可约，γ' 是在良构上下文下的可约替换。(c) 根据归纳假设，$t[\gamma'] \in \mathsf{Red}_C$。(d) 由于 (let $x = u$ in t)$[\gamma] \to t[\gamma, u[\gamma]/x]$，根据可约性集合在反向$\zeta$-归约下的闭包性，结论成立。

□

定理 1. *KOS-TL Core* 的强规范化

令 Γ 为一个良构上下文。若项 t 满足 $\Gamma \vdash t :\ A$，则 t 是强正规化的（即 $t \in SN$）。这意味着从 t开始的任何归约序列 $t \to t_1 \to t_2 \ldots$ 都是有限的。

证明。 该证明参考了 Girard 等人（1989）的 Tait-Girard 方法。核心逻辑是利用基本引理将“类型有效性”转化为“可约性”，然后利用可约项具有强正规化性质这一特点。

步骤 1：引入恒等替换

对于上下文 $\Gamma = \{x_1 :\ A_1, \ldots, x_n :\ A_n\}$，我们构造一个特殊替换 γ_{id}：

$$\gamma_{id} = [x_1/x_1, \ldots, x_n/x_n]$$

为了应用基 本引理，我们需要证明 γ_{id} 是可约替换。这意味着对于每个 y 变量 x_i，它必须是 已证明属于可约性集合，即，$x_i \in \mathsf{Red}_{A_i}$。

步骤 2：变量的可约性

根据可约性候选集（Girard 的 $\mathcal{RC}$）的性质，所有 Red$_A$ 集都满足以下两个关键性质：

1. CR 1（强正规化包含性）：如果 $t \in \mathsf{Red}_A$，那么 $t \in$ 强正规化。

2. CR 3（中性项性质）：如果 t 是一个中性项（即变量，或无法进一步归约的变量应用），且它的所有单步归约项都属于 inRed_A，那么 $t \in \mathsf{Red}_A$。

由于变量 x_i 是一个基本中性项，且没有归约形式，根据 CR 3 可知 $x_i \in \mathsf{Red}_{A_i}$。因此，$\gamma_{id}$满足基本引理的前提。

步骤 3：基本引理的应用

Sin由于前提 $\Gamma \vdash t : A$ 成立，且 γ_{id} 是一个可约替换，根据基本引理 2 :

$$t[\gamma_{id}] \in \mathsf{Red}_A$$

由于 $t[\gamma_{id}]$ 在语法上等价于项 t 本身，我们得到：

$$t \in \mathsf{Red}_A$$

步骤 4：结论推导

根据可约性集合的性质 CR 1（属于可约性集合的所有项都是强规范化的）：

$$t \in \mathsf{Red}_A \implies t \in \mathsf{SN}$$

证明至此完成。 □

定理 2. 主题归约

在 *KOS-TL Core* 中，归约操作不会改变项的类型。如果 $\Gamma \vdash t : A$ 且 $t \to t'$，那么 $\Gamma \vdash t' :$ $A.$

Proof. 根据替换引理 1，证明按如下方式进行结构归纳: ws.

(1) **主要归约 case：** β**-归约**

考虑最基本的归约步 $(\lambda x : B.t)u \to t[u/x]$:

- 根据前提 $\Gamma \vdash (\lambda x : B.t)u : A$，必定存在一个类型 B，使得 $\Gamma \vdash \lambda x : B.t : \Pi(x : B).A'$且 $\Gamma \vdash u : B$。
- 根据 Π-引入规则的逆向应用，$\Gamma,\ x : B \vdash t : A'$。
- 直接应用替换引理即可得到 $\Gamma \vdash t[u/x] : A'[u/x]$。

(2) Σ**-类型归约：** ι**-归约**

考虑 case split$(\langle u,\ v\rangle,\ x.y.t) \to t[u/x, v/y]$:

- **前提**：由 $\Gamma \vdash$ split$(\langle u,\ v\rangle,\ x.y.t) : C$，可得：(a) $\Gamma \vdash \langle u,\ v\rangle : \Sigma(x : A).B$(b) $\Gamma,\ x : A,\ y : B \vdash t : C'$（其中 C实际上是 $C'[\langle u, v\rangle/z]$）
- **推导**：由 (a)，根据引入规则的逆向应用，$\Gamma \vdash u : A$ 且 $\Gamma \vdash v : B[u/x]$。
- **应用**：连续两次应用替换引理于 t（先替换 x，再替换 y），直接得到：类型始终保持一致，结论成立。

$$\Gamma \vdash t[u/x, v/y] : C'[\langle u, v\rangle/z]$$

(3) **和类型归约：** ι**-归约**

考虑以下情况：case(inl$(u)\ x.M,\ y.N) \to M[u/x]$:

- 根据前提 $\Gamma \vdash$ case(inl$(u)\ x.M,\ y.N) : A$，可得：(a) $\Gamma \vdash$ inl$(u) : B + C$(b) $\Gamma,\ x : B \vdash M : A$ 以及 $\Gamma,\ y : C \vdash N : A$。
- 根据 (a)，通过对和类型引入规则进行逆向分析，$\Gamma \vdash u : B$。
- 应用替换引理（引理 1），由 $\Gamma, x : B \vdash M : A$ 和 $\Gamma \vdash u : B$，可得$\Gamma \vdash M[u/x] : A[u/x]$。

• 如果 A 不依赖于判断项，那么 $A[u/x] = A$，结论成立。（对于依赖类型的情形，替换同样能保持类型一致性）。

(4) **局部定义归约： ζ-归约**

考虑 $\mathsf{let}\ x = u\ \mathsf{in}\ t \to t[u/x]$ 的情形:

• 根据前提 $\Gamma \vdash \mathsf{let}\ x = u\ \mathsf{in}\ t : A$，必然存在一个类型 B，使得 $\Gamma \vdash u : B$，并且$\Gamma, x : B \vdash t : A$。
• 这是替换引理的一个标准应用场景。根据引理 **1**，我们可以直接推导出 $\Gamma \vdash t[u/x] : A[u/x]$。

(5) **定义展开归约： δ-归约**

考虑情形 $c \to t$，其中 $(c := t : A) \in \Gamma$:

• 根据前提 $\Gamma \vdash c : A$， c 是在上下文中声明的常量。
• 根据 δ-归约的定义，标识符 c 的类型与其在 Γ中的定义主体 t 的类型完全一致。

• 因此，根据 Γ的良构性，我们可直接得到 $\Gamma \vdash t : A$。

(6) **同余情形**

如果归约发生在子项中，例如 $t = f\,u \to f'\,u$ （其中 $f \to f'$）：

• 根据归纳假设， f' 保持 f的类型 $\Pi(x : B).A$ 。
• 重新应用 Π-消去规则；整体项的类型仍为 $A[u/x]$。
• 类似地，其他所有构造（配对、投影、注入等）在同余归约下都保持类型。

由于所有基本计算归约（β， ι等）都满足类型保持，且归约关系 $\to$ 在上下文构造下封闭，因此根据归约关系的结构归纳，该定理对所有归约步骤都成立。

□

我们将类型 A 解释为项集 $[\![A]\!]$。这些集合必须满足前文提到的可约性候选（CR）性质。

定义9. 类型语义

- $[\![\text{值}]\!] = \{t \mid t \in \text{强正规化} \wedge t \text{ 最终归约为数值常量}\}$
- $[\![\text{时间}]\!] = \{t \mid t \in \text{强正规化} \wedge t \text{ 最终归约为有效时间戳}\}$
- $[\![\Pi(x : A).B]\!] = \{f \mid \forall u \in [\![A]\!], (f\,u) \in [\![B]\!][u/x]\}$
- $[\![\Sigma(x : A).B]\!] = \{p \mid p \twoheadrightarrow \langle u, v\rangle \wedge u \in [\![A]\!] \wedge v \in [\![B]\!][u/x]\}$
- $[\![A + B]\!] = \{t \mid t \in \text{强正规化} \wedge (t \twoheadrightarrow \mathit{inl}(u) \Rightarrow u \in [\![A]\!]) \wedge (t \twoheadrightarrow \mathit{inr}(v) \Rightarrow v \in [\![B]\!])\}$
- $[\![\text{标识符}_A(a, b)]\!] = \{\mathit{refl} \mid a, b \in [\![A]\!] \wedge a \simeq_{Red} b\}$。其中 $\simeq_{Red}$ 表示它们会归约到同一个范式。

解释函数 $[\![t]\!]_\rho$ 负责将带有变量的语法项转换为相应的语义值。在强规范化证明中，这种“解释”通常就是替换（Substitution）操作。

定义 10. 项的语义解释

令 ρ为从变量到语义值的映射（赋值）。

- $[\![x]\!]_\rho = \rho(x)$（直接从环境中读取赋值）
- $[\![\lambda x : A.M]\!]_\rho =$一个函数 $v \mapsto [\![M]\!]_{\rho[x \mapsto v]}$
- $[\![f\,a]\!]_\rho = [\![f]\!]_\rho([\![a]\!]_\rho)$ （函数应用）
- $[\![\langle a, b\rangle]\!]_\rho =$ $([\![a]\!]_\rho, [\![b]\!]_\rho)$ （语义配对）

- $[\![\mathit{refl}]\!]_\rho = \mathit{refl}$（常量解释为其自身）

为确保 $[\![t]\!]_\rho \in [\![A]\!]$，赋值 ρ 必须是“有效的”。

定义 11. *Prop* 语义的逻辑闭包 在语义模型 $\mathcal{M}$中，*Prop* 的解释 $[\![\mathit{Prop}]\!]$ 定义为满足以下性质的所有项集 S 的集合：

(1) 强正规化性质： $S \subseteq$ 强正规化。

(2) 汇合性性质： S 在归约和反向归约下封闭，并包含所有中性项。

(3) 非谓述性语义运算符：对于任意集合 X 和函数 F： $X \to [\![$命题$]\!]$，交集运算定义如下：

$$[\![\Pi(x : A).B]\!]_\rho = \bigcap_{u \in [\![A]\!]_\rho} \{f \mid (f\, u) \in [\![B]\!]_{\rho[x \mapsto u]}\}$$

闭包修正：由于 $[\![$命题$]\!]$ 包含其自身构造的所有 Π-类型解释（通过对可约性候选 $\mathcal{RC}$执行交集运算），这保证了即使 A是一个无限大的宇宙，映射结果仍属于预定义的 $[\![$命题$]\!]$集合。

定义 12. 有效赋值

赋值 满足上下文 Γ （记作 $\rho \models \Gamma$）当且仅当其中的每个绑定（x： A） 都满足时，称赋值 ρ 满足 Γ,

$$\rho(x) \in [\![A]\!]_\rho$$

定理 3. 语义可靠性

$$\textit{If } \Gamma \vdash t : A \textit{ and } \rho \models \Gamma, \textit{ then } [\![t]\!]_\rho \in [\![A]\!]_\rho.$$

证明。 对推导树 $\Gamma \vdash t$ 的结构进行归纳： A。由于 Prop 的非谓词性，其可约性候选集 ($\mathcal{RC}$) 的构造采用 Girard 的分层候选集方法，而非简单的塔斯基式语义。

A. 变量规则（变量）

假设推导为

$$\frac{(x : A) \in \Gamma}{\Gamma \vdash x : A}$$

- 证明：根据前提 $\rho \models \Gamma$，环境中每个受约束变量的赋值都必须属于该类型的解释。因此， $\rho(x) \in [\![A]\!]_\rho$。
- 由于 $[\![x]\!]_\rho = \rho(x)$，结论 $[\![x]\!]_\rho \in [\![A]\!]_\rho$ 成立。

B. Π-类型引入（λ-抽象）

假设最后一个推导步骤为

$$\frac{\Gamma, x : A \vdash M : B}{\Gamma \vdash \lambda x : A.M : \Pi(x : A).B}$$

- 目标：证明 $[\![\lambda x :\ A.M]\!]_\rho \in [\![\Pi(x :\ A).B]\!]_\rho$。
- 根据 Π 的语义，需要证明：对于任意 $u \in [\![A]\!]_\rho$，$([\![\lambda x :\ A.M]\!]_\rho \cdot u) \in [\![B]\!]_{\rho[x \mapsto u]}$。
- 根据项解释的定义，$([\![\lambda x :\ A.M]\!]_\rho \cdot u) \to_\beta [\![M]\!]_{\rho[x \mapsto u]}$。
- 由于 $u \in [\![A]\!]_\rho$ 和 $\rho \models \Gamma$，新的赋值 $\rho' = \rho[x \mapsto u]$ 满足 $\rho' \models (\Gamma,\ x :\ A)$。
- 应用归纳假设： $[\![M]\!]_{\rho'} \in [\![B]\!]_{\rho'}$。
- 由于可约性集合在反向归约下是闭合的（汇合性性质），因此原应用项也属于该集合。

C. Π-类型消去（应用）

假设最后一个推导步骤是应用规则：

$$\frac{\Gamma \vdash f : \Pi(x : A).B \quad \Gamma \vdash u : A}{\Gamma \vdash f\, u : B[u/x]}$$

- 证明：根据归纳假设，$[\![f]\!]_\rho \in [\![\Pi(x : A).B]\!]_\rho$ 和 $[\![u]\!]_\rho \in [\![A]\!]_\rho$。
- 根据 Π 类型的语义，函数 $[\![f]\!]_\rho$ 应用于 $[\![A]\!]_\rho$ 中的任意元素后，必须属于 B的解释。

- 因此，$[\![f]\!]_\rho([\![u]\!]_\rho) \in [\![B]\!]_{\rho[x\mapsto[\![u]\!]_\rho]}$。
- 根据替换引理，该集合为 $[\![B[u/x]]\!]_\rho$。

D. Σ-类型引入（配对）

假设推导为：

$$\frac{\Gamma \vdash a : A \quad \Gamma \vdash b : B[a/x]}{\Gamma \vdash \langle a, b\rangle : \Sigma(x : A).B}$$

（1）根据归纳假设，$[\![a]\!]_\rho \in [\![A]\!]_\rho$。（2）根据归纳假设，$[\![b]\!]_\rho \in [\![B[a/x]]\!]_\rho$。（3）根据 Σ 的语义：$[\![\Sigma(x : A).B]\!]_\rho = \{(u, v) \mid u \in [\![A]\!]_\rho,\ v \in [\![B]\!]_{\rho[x\mapsto u]}\}$。

（4）结合替换引理 $[\![B[a/x]]\!]_\rho = [\![B]\!]_{\rho[x\mapsto[\![a]\!]_\rho]}$，$[\![\langle a, b\rangle]\!]_\rho$ 的两个组成部分完全符合定义。

E. 依赖和消去（Σ-消去 / split）

假设最后一个推导步骤应用了 Σ 消去规则：

$$\frac{\Gamma \vdash p : \Sigma(x : A).B \quad \Gamma, x : A, y : B \vdash t : C(\langle x, y\rangle)}{\Gamma \vdash \mathsf{split}(p, x.y.t) : C(p)}$$

我们需要证明：如果 $\rho \models \Gamma$，那么 $[\![\mathsf{split}(p, x.y.t)]\!]_\rho \in [\![C(p)]\!]_\rho$。

(1) **语义前提推导**

By the induction hypothesis (归纳假设)：

- 对于项 p, $[\![p]\!]_\rho \in [\![\Sigma(x : A).B]\!]_\rho$。
- 根据 Σ 类型的语义，存在 $u \in [\![A]\!]_\rho$ 和 $v \in [\![B]\!]_{\rho[x\mapsto u]}$，使得 $[\![p]\!]_\rho$ 在语义上等价于对 (u, v)。

(2) **构造有效赋值**

Defi定义一个新的赋i值 $\rho' = \rho[x \mapsto u, y \mapsto v]$。

- Since $u \in [\![A]\!]_\rho$, $\rho[x \mapsto u] \models (\Gamma, x : A)$.
- Since $v \in [\![B]\!]_{\rho[x\mapsto u]}$, and $\rho[x \mapsto u]$ satisfies the preceding context, $\rho' \models (\Gamma, x : A, y : B)$.

(3) **应用归纳假设**A

pply the induction hypothesi消去体 t的 s：

$$[\![t]\!]_{\rho'} \in [\![C(\langle x, y\rangle)]\!]_{\rho'}$$

根据项语义解释的定义：

$$[\![\mathsf{split}(p, x.y.t)]\!]_\rho = [\![t]\!]_{\rho[x\mapsto\pi_1([\![p]\!]_\rho),y\mapsto\pi_2([\![p]\!]_\rho)]}$$

代入 $[\![p]\!]_\rho$ 的组成部分 u 和 v，得到：

$$[\![\mathsf{split}(p, x.y.t)]\!]_\rho = [\![t]\!]_{\rho'}$$

(4) **类型一致性（转换）**
要完成证明，请确保结果属于一致集。
根据依赖类型的替换性质：

$$[\![C(\langle x, y\rangle)]\!]_{\rho'} = [\![C]\!]_{\rho[p' \mapsto (u,v)]}$$

由于 $[\![p]\!]_\rho \simeq (u, v)$（在可归约性等价的意义上），且 Red 集在计算等价下封闭：

$$[\![C]\!]_{\rho[p' \mapsto [\![p]\!]_\rho]} = [\![C(p)]\!]_\rho$$

因此，$[\![t]\!]_{\rho'} \in [\![C(p)]\!]_\rho$，结论成立。

F. ι归约的语义保持（归约不变性）

为支持上述步骤，我们需要证明 ι归约步骤不会改变语义性质。对于 Σ 类型：

$$\mathsf{split}(\langle u, v\rangle, x.y.t) \to_\iota t[u/x, v/y]$$

（1）**语义一致性**：根据定义，左侧的解释 $[\![\mathsf{split}(\langle u、\ v\rangle、\ x.y.t)]\!]_\rho$ 展开为$[\![t]\!]_{\rho[x \mapsto [\![u]\!]_\rho, y \mapsto [\![v]\!]_\rho]}$。（2）**替换引理**：根据替换引理（引理 1），右侧$[\![t[u/x, v/y]]\!]_\rho$ 的解释在语义上与上述展开相同。（3）**结论**：由于两者的语义解释在集合论意义上是同一个元素，并且 Red_C 满足 CR 2（一致性），归约后的项仍属于相应的可约性集合。

G. 和类型引入（注入）

假设最后一个推导步骤是左注入规则（右注入 inr 的情况类似）：

$$\frac{\Gamma \vdash a : A \quad \Gamma \vdash B : \mathcal{U}}{\Gamma \vdash \mathsf{inl}_B(a) : A + B}$$

- **证明**：根据归纳假设，$[\![a]\!]_\rho \in [\![A]\!]_\rho$。
- 根据和类型的语义：$[\![A + B]\!]_\rho = \{\mathsf{inl}(u) \mid u \in [\![A]\!]_\rho\} \cup \{\mathsf{inr}(v) \mid v \in [\![B]\!]_\rho\} \cup$ 中性项。
- 由于 $[\![\mathsf{inl}_B(a)]\!]_\rho = \mathsf{inl}([\![a]\!]_\rho)$，并且 $[\![a]\!]_\rho \in [\![A]\!]_\rho$。
- 根据集合构造，$\mathsf{inl}([\![a]\!]_\rho)$ 显然属于 $[\![A + B]\!]_\rho$ 的左分支定义部分。

H. 和类型消去（+-消去 / case）

假设最后一个推导步骤应用了 $+$ 消去规则：

$$\frac{\Gamma \vdash s : A + B \quad \Gamma, x : A \vdash t : C \quad \Gamma, y : B \vdash u : C}{\Gamma \vdash \mathsf{case}(s, x.t, y.u) : C}$$

我们需要证明：若 $\rho \models \Gamma$，则 $[\![\mathsf{case}(s, x.t, y.u)]\!]_\rho \in [\![C]\!]_\rho$。

(1) **分支前提分析**
根据归纳假设（IH）：

- 对于判断项 s, $[\![s]\!]_\rho \in [\![A + B]\!]_\rho$。
- 根据 $A + B$ 的语义，$[\![s]\!]_\rho$ 必须是强正规化（SN）的，并最终归约为 $\mathsf{inl}(a)$ 或 $\mathsf{inr}(b)$ 的形式。

(2) **分支讨论（分情况讨论）**
我们需要讨论两条语义路径：

- **路径一：左注入（inl）**

（1）假设 $[\![s]\!]_\rho \twoheadrightarrow \mathsf{inl}(a)$；根据定义，$a \in [\![A]\!]_{\rho^\circ}$ （2）构造赋值 $\rho_x = \rho[x \mapsto a]_\circ$ 由于 $a \in [\![A]\!]_\rho$，$\rho_x \models (\Gamma,\ x:\ A)$。（3）将归纳假设应用于左分支项 t：$[\![t]\!]_{\rho_x} \in [\![C]\!]_{\rho_x\circ}$ （4）由于此规则中的 C 不依赖于 s 的具体值（简单消去 case），$[\![C]\!]_{\rho_x} = [\![C]\!]_{\rho^\circ}$

- **路径二：右注入（inr）**

(1) 假设 $[\![s]\!]_\rho \twoheadrightarrow \mathsf{inr}(b)$；根据定义，$b \in [\![B]\!]_{\rho^\circ}$ (2) 构造赋值 $\rho_y = \rho[y \mapsto b]_\circ$ 于是 $\rho_y \models (\Gamma,\ y:\ B)$。(3) 将归纳假设应用于右分支项 u：$[\![u]\!]_{\rho_y} \in [\![C]\!]_{\rho_y\circ}$ (4) 类似地，$[\![u]\!]_{\rho_y} \in [\![C]\!]_{\rho^\circ}$

(3) **语义解释的统一**A
ccordi归约至h语义 ic definition of thcase算子：

$$[\![\mathsf{case}(s, x.t, y.u)]\!]_\rho = \begin{cases} [\![t]\!]_{\rho[x\mapsto a]} & \text{if } [\![s]\!]_\rho \twoheadrightarrow \mathsf{inl}(a) \\ [\![u]\!]_{\rho[y\mapsto b]} & \text{if } [\![s]\!]_\rho \twoheadrightarrow \mathsf{inr}(b) \end{cases}$$

无论 $[\![s]\!]_\rho$ 归约到哪个分支，结果都属于 $[\![C]\!]_{\rho^\circ}$

(4) **反向归约闭包（CR 3 应用）**
由于case $(s, x.t, y.u)$ 通过归约（归约）到达 根据可约性集合的 CR 3 性质（以及在逆向归约下的闭包），原始 case 项本身也必须属于可约性集合 $[\![C]\!]_{\rho^\circ}$ 结论成立。

□

可靠性意味着“所有可证明的内容都为真”。在定理 3 中，“可证明的内容”是类型判断$\Gamma \vdash t:\ A$，而“为真”指该项属于语义模型 $[\![t]\!] \in [\![A]\!]$。它确保 KOS-TL Core 的句法构造不会偏离其逻辑语义。

定理 4. 一致性定理
不存在这样的项 t，使得 $\emptyset \vdash t:\ \bot$。因此，该系统称为一致的。

证明。 此证明的核心思想是，句法推导无法超越语义边界。我们分三个阶段展开论证。

阶段 1：利用强规范化（句法正规化）
根据 KOS-TL Core 的强规范化定理，如果存在项 t 满足 $\emptyset \vdash t:\ \bot$，那么 t必须规约为一个范式（范式）t_{nf}，且类型保持不变：

$$\emptyset \vdash t_{nf} : \bot$$

在空上下文中，范式只能是构造子项（构造子）。然而，根据 $\bot$ 类型的定义，它没有引入规则（引入规则），这意味着没有构造子能够生成 $\bot$。这表明，在句法层面上，t_{nf} 并不存在。

阶段 2：语义可靠性映射
为使论证在数学上无可辩驳，我们使用解释模型 $\mathcal{M}$。
步骤 1：建立映射
解释 函数 $[\![\cdot]\!]$ 将句法世界（类型／项）映射到语义世界（集合／元素）。

- 对于任意类型 A，其解释 $[\![A]\!]$ 是一个集合。
- 对于任意项 $t:\ A$，其解释 $[\![t]\!]$ 必须是集合 $[\![A]\!]$ 中的一个元素。

步骤 2：空类型的特殊性质

在定义 $\bot$的语义时，我们将其映射到数学绝对空集：

$$[\![\bot]\!] = \emptyset$$

这是合理的因为在模型论中，逻辑“假”对应于一个没有见证（见证）的状态 .

步骤 3：应用语义可靠性

根据语义可靠性定理 3：

$$\text{If } \Gamma \vdash t : A, \text{ then for all valid assignments } \rho, [\![t]\!]_\rho \in [\![A]\!]$$

在空上下文 $\emptyset$ 中，无需赋值 ρ，即可直接得出：

$$[\![t]\!] \in [\![\bot]\!]$$

阶段 3：归谬与矛盾

(1) 根据上述推导：$[\![t]\!] \in \emptyset$。(2) 根据外延性和空集的集合论公理：$\forall x,\ x \notin \emptyset$。

(3) 判断：$[\![t]\!] \in \emptyset$ 和 $\forall x,\ x \notin \emptyset$ 构成直接的逻辑矛盾。

(4) 回溯：由于预设语义解释和集合论公理是正确的，矛盾的来源只能是“项 t存在”这一假设。

结论：该假设不成立，$\neg\exists t,\ \emptyset \vdash t :\ \bot$。一致性得证。 □

在基于 Curry-Howard 同构的 KOS-TL Core 等系统中，逻辑一致性等价于证明空类型（Empty Type）是不可居留的（Uninhabited）。

推论：逻辑一致性（一致性）由于 KOS-TL 核心层满足强规范化（强正规化），并具有类型保持性（主题归约），且系统中没有空类型 $\bot$ 的构造子，因此不存在满足 $\vdash t :\ \bot$的项 t。这证明核心层作为“形式化宪法”，在逻辑上不存在矛盾。

定义 13. 合流性

对于任意核心层项 M、N、P，如果存在归约路径使得 $M \twoheadrightarrow N$和 $M \twoheadrightarrow P$成立，那么必然存在一个项 Q，使得 $N \twoheadrightarrow Q$和 $P \twoheadrightarrow Q$成立。

令 $\to$为单步约化关系（包括 β、δ、ζ、η归约），$\twoheadrightarrow$为其传递闭包（多步归约）。合流性在逻辑上的含义是，所有分叉最终都会汇合。

定理 5. *KOS-TL Core* 合流定理

KOS-TL 核心层中的所有良构项都满足合流性，并且具有唯一范式（唯一范式）。

证明。 证明中，我们采用 Tait-Martin-Löf 并行约化方法（并行归约），并结合强正则化属性。

步骤 A：定义并行归约（$\Rightarrow$）

为处理单步归约无法涵盖的“分叉的同时归约”，我们定义并行归约关系 $\Rightarrow$。该关系是单步归约 $\to$的扩展，允许同时归约一个项的多个子部分。具体而言，$\Rightarrow$是满足以下规则的最小关系：

（1）若 $M \to M'$（单步 β归约），则 $M \Rightarrow M'$。

(2) 对于任意约化上下文 $C[\cdot]$，如果 $M \Rightarrow M'$，那么 $C[M] \Rightarrow C[M']$。

(3) 归约的并行应用：

$$\frac{M \Rightarrow M' \quad N \Rightarrow N'}{(\lambda x.M)N \Rightarrow M'[x := N']}$$

其中，$[x := N']$ 表示避免捕获的替换。

(4) 对于构造子（例如， $\Pi x:\ A.M$），允许对定义域和主体同时归约：

$$\frac{A \Rightarrow A' \quad M \Rightarrow M'}{\Pi x : A.M \Rightarrow \Pi x : A'.M'}$$

（Σ 并且 Id 类型也类似）。

步骤 B：证明菱形性质

我们证明并行归约 $\Rightarrow$ 满足菱形性质：如果 $M \Rightarrow N$ 和 $M \Rightarrow P$，那么存在 Q使得 $N \Rightarrow Q$ 和 $P \Rightarrow Q$。证明通过对 M 的结构进行归纳来展开：

- **基本情况**：如果 M是变量或原子，那么 $N = P = M$，取 $Q = M$。
- **归纳情形**：假设结论对所有真子项都成立。**情形：** $M = (\lambda x.M_1)M_2$：根据 $\Rightarrow$的定义，N 和 P 来自不同的子归约分叉。由归纳假设，M_1 和 M_2可归约至Q_1，Q_2，因此这些子项能够合流，进而 $Q = Q_1[x :=Q_2]$。
  情形：构造子（例如， $\Pi x:\ A.M$**）：** KOS-TL Core 中的构造子是正交的（归约规则之间没有重叠）；对 A 和 M应用归纳法，可使它们合流至 $\Pi x:\ A''.M''$。Id 类型也类似，不存在内部冲突。

由于正交性和类型保持，归约不存在临界对，因此满足菱形性质。

步骤 C：从并行归约推导多步归约

多步归约 $\twoheadrightarrow$ 是 $\Rightarrow$的自反传递闭包：$M \twoheadrightarrow N$ 当且仅当存在一条链$M = M_0 \Rightarrow M_1 \Rightarrow \cdots \Rightarrow M_k = N$。根据纽曼引理，若 $\Rightarrow$ 满足菱形性质且该系统强正规化（SN，即不存在无限链），则 $\twoheadrightarrow$ 满足合流性：对于 $M \twoheadrightarrow N_1$ 和 $M \twoheadrightarrow N_2$，存在 Q，使得 $N_1 \twoheadrightarrow Q$ 且 $N_2 \twoheadrightarrow Q$。SN 保证弱正规化，而菱形性质蕴含局部合流性。

步骤 D：唯一范式证明

假设 M 有两个范式 N_1 和 N_2（不可约）。根据合流性，存在 Q 使得 $N_1 \twoheadrightarrow Q$ 和$N_2 \twoheadrightarrow Q$。但是 N_1，N_2 都是范式，因此 $N_1 = Q = N_2$。根据强正规化，每个项都有一个范式，因此该范式是唯一的。 □

KOS-TL Core 的可判定性主要由以下两个性质支持：

(1) **类型检查的可判定性**：给定 Γ，t，A，判断 $\Gamma \vdash t : A$ 是否成立。(2) **等价判断的可判定性**：给定 Γ，t，u，判断 $t \equiv u$（即当前上下文中这两个项在逻辑上是否等价）是否成立。

作为整个系统的数学基础，核心层必须从理论上保证，在任何情况下，所有基本操作（类型检查、等价判断）都能在有限步内终止。

定理 6. 核心层可判定性定理

KOS-TL 核心语言中的类型检查问题和项等价判断问题都是可判定的。

证明。 该证明建立在强规范化（Strong Normalization，SN）和合流性（Confluence）的基础之上。

1. 归约序列的有限性

根据通过 Tait-Girard 方法证明的强规范化定理，KOS-TL Core 中的任何良构项 t 都不存在无限归约序列。这意味着，从任意项出发，经过诸如β，δ，ζ等归约步骤后，最终必定在有限步内到达唯一范式 nf(t)。

2. 等价判断的算法化

确定 $t \equiv u$ 的过程可以转化为：

(1) 将 t 化简为范式 t^*。(2) 将 u化简为范式 u^*。(3)
比较 t^* 和 u^* 是否句法同一。

由于步骤 1 和 2 是 保证在有限时间内完成，且步骤 3 是简单的符号匹配， $t \equiv u$ 是可判定的 e.

3. 类型检查算法的递归终止性

类型检查器根据项 t 的句法结构递归处理它：

- 对于应用项（$f\,a$），检查 f 的类型是否为 Π-类型，并确定 a 的类型是否匹配。
- 在类型匹配过程中，调用上述等价判断算法。

由于项构造是有限的，且等价判断是可判定的，整个递归过程必然会终止。

□

3.3 应用示例：质量异常知识建模

在制造场景中，“合格批次”不仅仅是一条数据记录；它还必须包含通过质量检验的证据。

- **类型定义**：

$$\text{QualifiedBatch} \equiv \Sigma(b : \text{批次标识}).\Sigma(res : \text{结果})。\text{Id}_{\text{Result}}(res,\ \text{通过})$$

- **逻辑解释**：此类型要求任何实例都必须包含一个批次标识符、一个质量检验结果，以及一个证明该结果等于通过的恒等项。
- **构造尝试**：如果该批次的质量检验结果为失败，由于该类型为空（没有构造子），系统将在核心层拒绝实例化该对象，从而防止不合格产品进入逻辑层的后续流程。

示例 1. 构造一个处于安全范围内的温度读数

（*1*）声明原子谓词（作为公理或基本判断）

在核心层的初始化上下文中，我们需要引入一个量纲判断谓词（*is_unit*）：

$$\Gamma \vdash \textit{is\_unit\_Celsius} : \Pi(v : \textit{Val}).\textit{Prop}$$

此外，还要引入比较谓词构造 *is_safe*：

$$\Gamma \vdash L, H : \textit{Val} \quad \Gamma \vdash \textit{is\_safe} \equiv \lambda v.\textit{And}(L \le v, v \le H) : \textit{Val} \to \textit{Prop}$$

（*2*）构造 $Temp$ 类型

使用 Σ类型构造规则：

$$\frac{\Gamma \vdash \textit{Val} : \mathcal{U} \quad \Gamma, v : \textit{Val} \vdash \textit{is\_unit\_Celsius}(v) : \textit{Prop}}{\Gamma \vdash \Sigma(v : \textit{Val}).\textit{is\_unit\_Celsius}(v) : \mathcal{U}}$$

此时， $Temp \equiv \Sigma$（v： 值）*.is_unit_Celsius*（v） 正式成为一种有效类型。

（*3*）在此基础上构造 $QualifiedTemp$

现在，我们叠加逻辑安全谓词*is_safe*：

$$QualifiedTemp \equiv \Sigma(t : Temp).\textit{is\_safe}(\textit{proj}_1(t))$$

（*4*）构造对象实例

假设 $v = 25$: p_{unit}： 是_单位_摄氏度(25) p_{range}： 是_安全状态(25) $obj = \langle\langle 25, p_{unit}\rangle, p_{range}\rangle$

4 KOS-TL 内核层：状态演化与操作语义

内核层是 KOS-TL 的动力学核心。基于核心层的静态类型系统，它引入时间维度和状态转换机制，通过受控的事件驱动过程，实现知识库从状态 Σ 到 Σ' 的原子演化。

4.1 语法

KOS-TL 内核层引入了“动力学”概念，将定义域从静态对象扩展到状态转换轨迹。它充当连接逻辑与执行的桥梁。

KOS-TL 内核层可以表示为一个三元组：

$$\langle \Sigma, \mathsf{Ev}, \Delta \rangle$$

定义 14。状态（Σ）
内核层状态（Σ）定义为一个配置三元组：

$$\Sigma \equiv \langle \mathcal{K}, \mathcal{TS}, \mathcal{P} \rangle$$

(1) 知识库（$\mathcal{K}$ - 知识库）

$$\mathcal{K} = \{(id_i, t_i, A_i) \mid \Gamma_{Core} \vdash t_i : A_i\}$$

它存储系统中当前所有已验证的真理（事实）。

(2) 逻辑时钟（$\mathcal{TS}$ - 逻辑时钟）基于核心层基础类型时间。它不仅仅是一个计数器，更是对状态全序的测量。

$$\mathcal{TS} : \mathit{Time} \quad \textit{satisfying the monotonicity rule: } \Sigma \to \Sigma' \implies \mathcal{T}' > \mathcal{T}$$

(3) 待处理队列（$\mathcal{P}$ - 待处理事件）由受限事件（事件）组成的有序序列。
D定义 15. 事件 *Ev* 事件 *Ev* 是全局上下文 Γ下的一个良构五元组：

$$\mathit{Ev} \equiv \langle \mathit{Args}, \mathit{Pre}, \mathit{Op}, \mathit{Post}, \mathit{Prf} \rangle$$

各组件的类型约束和逻辑语义如下：

(1) 参数集：

$$\mathit{Args} : A$$

（其中 $A \in \mathcal{U}_{Core}$）。从外部世界（运行时层）摄取的实例化数据，例如传感器_值或交易金额。_

(2) 前置条件谓词：

$$\mathit{Pre} : \mathit{Args} \to \Sigma \to \mathit{Prop}$$

用于定义事件在当前状态 Σ 下必须满足的逻辑前提的依赖命题。它可以引用当前知识库 $\mathcal{K}$ 或逻辑时间 $\mathcal{TS}$。

(3) 操作算子：

$$\mathit{Op} : \mathit{Args} \to \Sigma \to \Sigma$$

核心演化函数，用于描述如何生成新状态 Σ'。

- $\mathcal{K} \to \mathcal{K}'$：知识项的添加与移除。
- $\mathcal{TS} \to \mathcal{TS} + \Delta t$：逻辑时钟的递增。
- $\mathcal{P} \to \mathcal{P}'$：更新待处理意图队列（消耗自身或推导出新的意图）。

(4) 后置条件/不变量：

$$\mathit{Post} : \Sigma' \to \mathit{Prop}$$

定义安全状 性标准（安全属性），这些标准必须在转换后得到满足，例如“*energ* *y* 守恒性， ”“非负账户，”或“时钟单调性。”

（*5*）*Prf*（证明项）：

$$\mathit{Prf} : \mathit{Pre}(\mathit{Args}, \Sigma)$$

这是该事件的“护照”。当信号在运行时层中被细化为事件时，必须构造出前置条件成立的构造性证明。如果没有有效的 *Prf*，内核将拒绝执行该事件。

定义 16。 转换记录（Δ）
为了支持因果追踪， Δ 需要记录时钟跳变：

$$\Delta \subseteq \Sigma \times \mathit{Ev} \times \Sigma$$

典型的转换记录条目：

$$\delta = \langle\langle \mathcal{K}, \mathcal{TS}, \mathcal{P}\rangle \xrightarrow{e} \langle \mathcal{K}', \mathcal{TS}', \mathcal{P}'\rangle\rangle$$
$$\forall \langle \Sigma \xrightarrow{e} \Sigma'\rangle \in \Delta, \quad \Sigma'.\mathcal{T} > \Sigma.\mathcal{T}$$

。这在理论上锁定了“时间之箭”，确保知识演化不可逆。每个注入到 $\mathcal{K}'$ 中的新知识条目 ku_{new} 都隐含携带当前的 $\mathcal{T}'$。在一次转换过程中， e 会从 $\mathcal{P}$ 中出队；执行 *Op* 后，其结果会合并到 $\mathcal{K}'$ 中。

定义 17。 演化确定性
给定状态 Σ 和事件 e，若存在满足操作语义的 Σ'，则其范式（*Normal Form*）在内涵等价意义下是唯一的。

4.2 操作语义

内核层的演化遵循“小步操作语义”。设 Σ 为系统的配置（Configuration）；其状态转换规则定义如下：

$$\frac{e = \mathsf{head}(\Sigma.\mathcal{P}) \quad \Gamma, \Sigma.\mathcal{K}, \Sigma.\mathcal{TS} \vdash p : \mathsf{Pre}(\mathsf{Args}_e, \Sigma) \quad \Sigma' = \mathsf{Op}(\mathsf{Args}_e, \Sigma) \quad \Sigma' \vdash p' : \mathsf{Post}(\mathsf{Args}_e, \Sigma')}{\langle \Sigma, e\rangle \longrightarrow_{KOS} \Sigma'} \tag{1}$$

其中：

- 意图触发条件（$e =$ 头部（$\Sigma.\mathcal{P}$））这指定了事件 e的来源。转换并非随机发生，而是由待处理队列 $\mathcal{P}$ 的头部事件驱动。这确保了演化的有序性，也就是说，内核会根据意图队列的逻辑顺序进行调度。

- 环境感知证明判断（Γ， $\Sigma.\mathcal{K}$， $\Sigma.\mathcal{T} \vdash p$）明确列出了证明项 p 所依赖的上下文。前置条件的证明不仅依赖全局上下文 Γ，还必须与当前知识库 $\mathcal{K}$ 中的事实以及逻辑时间 $\mathcal{TS}$保持一致。这实现了这样的逻辑：事件只能在正确的时间、具备正确事实时发生。
- 参数化算子应用（$\Sigma' = \mathrm{Op}(\mathrm{Args}_e, \Sigma)$）引入 Args_e。它强调，该转换是基于事件所携带的特定参数（从运行时层细化而来）对当前三元组配置进行的整体变换。

- 后置条件自洽性（$\Sigma' \vdash p'$： $\mathrm{Post}(\mathrm{Args}_e, \Sigma')$）明确指出，Post 在新状态 Σ' 下进行判定。这定义了逻辑提交（提交）的硬阈值。如果演化后的状态无法满足其安全不变量（例如，时钟未向前推进，或知识库存在不一致），则判定失败，且转移规则无效。

该语义规定，有效的知识转移必须同时满足“可证明的前提”和“合规的结果”。如果任何条件无法在核心层中得到证明，状态将保持不变（即执行回滚）。内核层不处理物理故障的重试策略；它只定义“逻辑上有效的演化轨迹”。任何未通过后置条件验证的物理尝试，在内核层中都表现为“未发生的转移”，从而在逻辑层强制实现事务原子性。

示例 2. 归约示例演示
假设有如下场景。传感器数据融合假设系统中有两个独立的传感器： ku_1（温度）和 ku_2 （湿度）。我们需要一个名为 *combine* 的合并函数，将它们封装成一个“环境状态”对象。

(1) 基本类型和谓词定义 目标类型 $Env \equiv \Sigma(t : Temp).(Humi)$，其中环境状态是一个包含温度和湿度的依赖对。其中：

$$Temp \equiv \Sigma(v : \mathit{Val}).\mathit{is\_T}(v)$$
$$Humi \equiv \Sigma(v : \mathit{Val}).\mathit{is\_H}(v)$$

(2) 具体知识项（实例） *[[* $ku_1 = \langle 25, p_T\rangle$： $Temp$ $ku_2 = \langle 60, \ p_H\rangle$： $Humi$ *]* *]*

（*3*）合并函数（Π-类型）定义一个接收温度和湿度并返回环境对象的函数：

$$\textit{combine} \equiv \lambda t : Temp.\lambda h : Humi.\langle t, h\rangle$$

其类型为 Π（t： $Temp$）.Π（h： $Humi$）.Env。

现在，我们演示将 *combine* 应用于 ku_1 和 ku_2 时的归约过程。这通常发生在内核接收到两个信号并尝试更新全局状态时。

步骤 *1*：构造初始应用项

在内核的控制流程中，会生成一个待归约的项：

$$(\textit{combine}\ ku_1)\ ku_2$$

步骤 *2*：第一次 β-归约（温度替换）

根据 β-归约规则$(\lambda x.M)N \to M[N/x]$:

$$(\lambda t.\lambda h.\langle t, h\rangle)\ ku_1 \to \lambda h.\langle ku_1, h\rangle$$

该函数“消耗”温度数据，成为一个专门“等待湿度输入”的函数。

步骤 *3*：第二次 β-归约（湿度替换）

$$(\lambda h.\langle ku_1, h\rangle)\ ku_2 \to \langle ku_1, ku_2\rangle$$

填入湿度数据，生成一个完整对。

步骤 *4*：展开与结构归约（ι-归约）

如果系统 需要进一步提取原始值（例如执行 *analyze*），那么 ι-归约就会发生 *rs:*

$$\textit{proj}_1(\langle ku_1, ku_2\rangle) \to ku_1 = \langle 25, p_T\rangle$$

$$\textit{proj}_1(\textit{proj}_1(\langle ku_1, ku_2\rangle)) \to 25$$

上述归约过程伴随着类型判断。根据类型保持（主题归约），整个归约过程中的每个项都必须是良构的：初始项：（*combine* ku_1） ku_2 的类型为 Env。中间项： $\lambda h.\langle ku_1$、$h\rangle$ 的类型为 Π（h： $Humi$）.Env。终态项：$\langle ku_1$、$ku_2\rangle$ 的类型为 Env。在此示例中，归约操作完成了从“逻辑意图”（如何合并数据）到“逻辑事实”（合并后的数据对象）的转换。从核心层的角度看，（*combine* ku_1） ku_2 与 $\langle ku_1$、$ku_2\rangle$ 是判断相等的（判断相等）。它们是同一真值的不同表达形式。从内核层的角度看，归约是一种计算求值。它消耗 *CPU* 周期，将两个分散的内存指针合并为一个新的 Σ 结构。

KOS-TL 在逻辑执行前通过静态类型语义构建一道“防火墙”，在归约前进行类型不匹配拦截（Type Mismatch Interception）。根据核心层的判断规则，如果一个项（Term）无法通过类型检查，就绝不会被送入内核的归约引擎。

假设我们有一个合并函数 combine，它需要一个湿度对象 $Humi$:

$$\text{combine} : \Pi(t : Temp).\Pi(h : Humi).Env$$

现在，运行 时层错误地捕获了一个压力信号 p： $Press$，并试图执行合并 e:

$$(\text{combine}\ ku_1)\ p$$

内核调用 Π-消去规则（应用规则）：

$$\frac{\Gamma \vdash f : \Pi(h : Humi).Env \quad \Gamma \vdash p : A}{\Gamma \vdash f\,p : Env[p/h] \quad (\text{requiring } A \equiv Humi)}$$

内核尝试判断 $Press \equiv Humi$。 $Humi \equiv \Sigma$(v: 值)。是_H(v) $Press \equiv \Sigma$(v: 值)。是_P(v) 由于谓词是_H $\neq$ 是_P，类型合一失败。因此，项 (combine ku_1) p 被判定为类型错误。归约引擎拒绝执行 β-归约，系统状态 σ 保持不变，并触发类型错误异常。

示例 3. 因果回溯分析

基于示例 *2*，当系统发现合并结果虽然“类型正确”，但“逻辑异常”（例如，Env 的值超出安全范围）时，需要使用 *Id* 类型（恒等类型）进行因果回溯。

假设我们已获得合并后的对象 $obj = \langle ku_1, ku_2 \rangle$，但分析谓词判定其无效。回溯过程遵循以下逻辑归约：

(1) 解构：通过核心层的投影算子 proj_i，将复合对象还原为原始证据：

$$t = \mathsf{proj}_1(obj) \quad h = \mathsf{proj}_2(obj)$$

(2) 恒等性验证：内核构造一个等价性陈述，要求证明当前数据与输入源一致：

$$\mathsf{Id}_{Temp}(t, ku_1) \wedge \mathsf{Id}_{Humi}(h, ku_2)$$

如果此处无法构造 *refl*（自反性证明），则表明合并过程中发生了计算错误或内存损坏。

（*3*）根因定位 回溯分析函数 *analyze* 将沿着归约步骤进行反向搜索。在 *KOS-TL* 中，这表现为检查证明项：检查 ku_1 的右投影 $\mathsf{proj}_2(ku_1)$，即温度安全性证明 p_T。如果 p_T 验证失败，则判断：根本原因在于传感器 *1* 的输入数据。如果 p_T 验证通过，则判断：根本原因在于合并函数 *combine* 的逻辑计算。

4.3 通用算子

4.3.1 状态投影算子

投影算子定义了从复杂依赖对（Dependent Pairs）中提取各个分量的逻辑。

- **知识提取算子（get_K）**
  – **核心类型:** get_K : $\Pi(\sigma : \Sigma).\mathrm{Set}$(事实)– **算子定义:** get_K $\equiv \lambda\sigma.\mathrm{proj}_1(\sigma)$– **描述:** 此算子使用第一投影来提取知识库 $\mathcal{K}$。在核心层中，它确保返回的集合项均为良构的类型实例。

- **时钟读取算子（now）**
  – **核心类型:** now : $\Pi(\sigma : \Sigma).$时间– **算子定义:** now $\equiv \lambda\sigma.\mathrm{proj}_1(\mathrm{proj}_2(\sigma))$– **描述:** 提取三元组的中间项 $\mathcal{T}$。此算子是所有时序逻辑判断（例如“合约是否已到期”）的基础。

4.3.2 意图调度算子

调度算子通过递归列表操作来管理意图队列 $\mathcal{P}$。

- **意图推送算子（schedule）**
  – **核心类型:** schedule : $\Pi(\sigma : \Sigma).\Pi(e : \mathrm{Ev}).\Sigma$– **算子定义:** schedule $\equiv \lambda\sigma.\lambda e.\langle$get_K($\sigma$),now($\sigma$), append(proj$_2$(proj$_2$($\sigma$)) $e\rangle$– **描述:** 此运算符构造一个新的 Σ 实例。其核心是将一个符合 Ev 类型约束的五元组追加到队列末尾。

4.3.3 演化控制算子

这是驱动系统前向演化的核心，涉及计算与一致性判断的融合。

- **时钟步进算子（tick）– 核心类型:** tick : $\Pi(\sigma : \Sigma).\Sigma$

– **算子定义**：tick $\equiv \lambda\sigma.\langle$get_K($\sigma$)，now($\sigma$) $+1$，consume(σ)$\rangle$– **描述**：它不仅会递增时间计数，通常还伴随着对当前事件的消耗，表示一个逻辑步骤的完成。

- **知识统一算子（unify）**
  – **核心类型**: unify : $\Pi(\sigma:\Sigma).\Pi(f:$事实$).\Sigma$– **算子定义**: unify $\equiv \quad \lambda\sigma.\lambda f.$若 is_consistent(get_K($\sigma$) f) 则 $\langle$get_K(σ) $\cup\{f\}$，now(σ) $\ldots\rangle$ else σ– **描述**: 这是最复杂的算子。在合并新事实之前，它会使用核心层的判断规则，验证 f 与现有 $\mathcal{K}$之间的逻辑兼容性（一致性）。

4.3.4 因果与追踪算子

利用恒等类型进行深度审计。

- **恒等验证算子（verify_id）**
  – **核心类型**: verify_id : $\Pi(\sigma_1:\Sigma).\Pi(\sigma_2:\Sigma)$.Type– **算子定义**: verify_id $\equiv \lambda\sigma_1.\lambda\sigma_2.\mathrm{Id}_\Sigma(\sigma_1,\ \sigma_2)$– **描述** : 返回一个命题类型（ Prop ）。要在内核中执行，必须提供构造性证明（例如 refl ），以验证这两个配置在逻辑上是否具有相同的真值。

当内核层调用上述核心层算子时，其执行遵循以下归约路径:

（1）**参数替换（β-归约）**：将内核层的当前状态实例（例如 $\sigma_{current}$）替换到算子的 λ-项中。（2）**结构展开（ι-归约）**：投影算子 proj 从三元组中提取特定分量。（3）**状态具体化**：归约得到的终态项（例如 new Σ'）存储在内核存储中，成为下一轮的输入。

定义 18. 算子终止性

由于核心层的计算模型基于强规范化（*StrongNormalization*），所有内核通用算子都必须在有限步数内终止并产生结果。从理论上说，这避免了内核在状态转换期间出现“死循环”。

4.4 内核层的逻辑性质

在 KOS-TL 内核架构中，状态保持性（Preservation），在状态机维度上也常称为类型保持（Subject Reduction），确保系统的逻辑“良构性”不会因环境演化或事务提交期间的数据流入而崩溃。

定理 7. 状态保持性

设 Γ 为系统全局上下文。如果内核状态 Σ 是良构的（记作 $\Gamma \vdash \Sigma\ ok$），且存在由事件 e 触发的转换步骤，使得 $\Sigma \xrightarrow{e} \Sigma'$，那么转换后的新状态 Σ' 仍然是良构的:

$$\Gamma \vdash \Sigma\ ok \quad \wedge \quad \Sigma \xrightarrow{e} \Sigma' \implies \Gamma \vdash \Sigma'\ ok$$

其中，良构性 $\Sigma\ ok$ 的定义如下：对于状态中包含的所有事实项 $ku_i \in \Sigma$，都存在一种类型 A_i，使得 $\Gamma \vdash ku_i :\ A_i$，且 Σ 满足一致性 $\Sigma \nvdash \bot$。

证明。我们根据事件 e的性质，对转换算子进行结构归纳证明。
1. 内部计算步骤： 如果 e 对应于内核中的内部归约（例如通过 β-归约进行表达式化简），那么 $\Sigma' = \Sigma$，且只有控制项 $ctrl$ 会发生变化。

- 根据核心层的**主题归约** 定理：如果 $\Gamma,\ \Sigma \vdash ctrl :\ A$ 且 $ctrl \to ctrl'$，那么$\Gamma,\ \Sigma \vdash ctrl' :\ A$。

- 由于 Σ 本身不会改变，因此其良构性 $\Gamma \vdash \Sigma$ ok 会自动得到保留。

2. 外部事实注入： 如果 e 对应于向知识库注入一个新事实 ku_{new}，则该转换由 unify(Σ, ku_{new}) 定义。

- **类型预检查**：转换的前提是 ku_{new} 必须通过类型检查，即 $\Gamma,\ \Sigma \vdash ku_{new} : A_{new}$。
- **一致性冲突处理**：
  – 分支 *A*（兼容）：如果 $\Sigma \cup \{ku_{new}\} \nvdash \bot$，则 $\Sigma' = \Sigma \cup \{ku_{new}\}$。根据弱化引理（弱化引理），现有事实项在更大的上下文中仍然类型正确。– 分支 *B*（冲突）：如果 $\Sigma \cup \{ku_{new}\} \vdash \pi : \bot$，内核不会直接合并，而是构造$\Sigma' = \Sigma \cup \{\text{Invalidated}(ku_{new}, \pi)\}$。
- 在两个分支中，Σ' 均不包含可直接推导出的 $\bot$，且所有元素都有相应的构造性证明。因此，$\Gamma \vdash \Sigma'$ ok。

3. 环境消去步骤： 如果 e 对应于某个消去规则的应用（例如，从 Σ类型的事实中提取投影项）。

- 假设 $\langle a,\ p\rangle : \Sigma(x : A).B$ 存在于 Σ中。该转换步骤产生 $a : A$。
- 根据 Σ消去规则的语义可靠性，投影项 a 具有预定义的有效类型 A。
- 此操作仅仅是对现有良构知识的展开，不会引入不一致，因此 Σ' 仍然是良构的。

结论： 总之，无论转换事件 e为何，新状态 Σ' 都保持逻辑良构性和一致性。

□

在 KOS-TL 内核层中，确定性（Determinism）是确保分布式共识（Consensus）和逻辑可追溯性的基石。在依赖类型系统下，确定性不仅意味着计算结果一致性，也意味着归约路径的合流性（Confluence）。

定理 8。 内核演化的确定性
设 *Op* 为内核状态转换函数，Σ 为当前良构的内核状态，e 为触发事件。若转移规则定义为 $\Sigma' = Op(\Sigma, e)$，则对于相同的输入对 (Σ, e)，输出的新状态 Σ' 在逻辑等价意义下是唯一的：

$$\forall \Sigma, e, \Sigma'_1, \Sigma'_2 : (\Sigma \xrightarrow{e} \Sigma'_1 \wedge \Sigma \xrightarrow{e} \Sigma'_2) \implies \Sigma'_1 \equiv \Sigma'_2$$

其中 $\equiv$ 表示内涵相等（*Intensional Equality*），即二者的范式（*Normal Form*）完全相同。

证明。 该证明基于 KOS-TL Core 的纯函数特性以及强正规化演算的合流性，以下从三个维度展开：

1. 算子纯性：
内核中的所有转换算子（例如 unify、subst、eval）都定义为核心层中的项。

- 在核心层理论中，所有构造子都满足 **计算一致性**。给定相同的输入 ρ（赋值环境），解释函数 $[\![\text{Op}]\!]_\rho$ 在数学意义上是单值函数。
- 由于 Op 不依赖任何外部隐式状态或随机源，因此在函数语义下，其映射关系 $\Sigma \times e \to \Sigma'$ 具有确定性。

2. 强正规化与合流性：
由于 KOS-TL 具有强规范化（Strong Normalization）属性，根据 **Church-Rosser 定理**，该演算系统具有合流性。

• 即使在归约 $\Sigma \xrightarrow{e} \Sigma'$ 过程中存在多个可选的归约红式，无论采用何种归约策略（Reduction Strategy），合流性都能保证最终得到的范式 nf(Σ′) 是唯一的。

• 因此，尽管物理内存中的中间步骤可能略有不同，但逻辑层的状态（即能够参与后续推导的事实集合）是唯一的。

3. 确定性冲突解决：

处理由 e引起的一致性冲突时，内核的分支判断逻辑：

• 合一算子按照类型规则优先级（Typing Rule Priority）执行穷尽搜索。

• 矛盾证明项 π 的构造遵循标准搜索算法（例如合一算法）。在给定的搜索空间中，找到的第一个最小证明项是确定的。

• 选择分支 A 还是分支 B，完全由“是否存在证明项 π”这一逻辑真值决定，不涉及非确定性选择（非确定性选择）。

结论： 总之，由于运算符采用纯函数定义，且底层演算系统具有合流性，KOS-TL 内核中的状态转换具有严格的确定性。 □

进展性是确保内核实时响应性和鲁棒性的核心数学基石。它保证逻辑自愈引擎在任何时刻都不会陷入“计算死锁”。

定理 9. 内核进展性

设 $\mathcal{C} = \langle \Sigma、 Ev\ \Delta \rangle$ 是一个良构的 *KOS-TL* 内核配置，其中状态 $\Sigma = \langle \mathcal{K}、\ \mathcal{TS}、\ \mathcal{P} \rangle$ 以及转换记录 Δ 满足时间单调性。若 $\mathcal{C}$ 满足全局类型赋值，且当前活动事件 *Ev* 在上下文 Σ中是良构的，则以下情况之一必定成立：

PP1. 逻辑稳态（逻辑静止）：$Ev = null$ 且待处理队列为 $\mathcal{P} = \emptyset$。此时，系统中的所有因果链都已在 Δ中物化，计算暂时终止。

PP2. 因果推进（因果进展）：存在一个新配置 $\mathcal{C}' = \langle \Sigma', Ev', \Delta \cup \{\delta\} \rangle$，使系统通过以下归约步骤之一继续向前推进：

• 执行步骤（执行）：若 $Ev = e \neq null$，则执行 *Op* 以产生一个新状态 Σ'，并生成一条转换记录 $\delta = \langle \Sigma \xrightarrow{e} \Sigma' \rangle$。

• 激活步骤（激活）：若 $Ev = null$ 且 $\mathcal{P} = e_0 :: \mathcal{P}_{rest}$，则通过提取算子激活队列中的第一个事件。

证明。 分类 并根据当前活动项 Ev 的构造以及队列 $\mathcal{P}$ 的状态进行讨论 ：

1. 活动事件演算

当 Ev $= e \equiv \langle$Args，Pre，Op，Post，Prf$\rangle$ 时，根据良构配置，存在一个满足 Pre(Args Σ) 的证明项 Prf。根据核心层的强规范化性质：

• Op 作为一个全函数（Total Function），对于输入对 (Args Σ)，必须有一个定义好的输出值 Σ'。

• 根据消去规则的完备性，在构造出 Σ' 后，可以判定后置条件 Post(Σ′)。

因此，执行 运算符必定会产生一个新的转移项 δ，从而使系统转换到 PP 2.

2. 队列动态

如果 Ev $=$ null，系统会检查待处理队列 $\mathcal{P}$：

• 如果 $\mathcal{P} = e_0 :: \mathcal{P}_{rest}$，根据内核的操作语义，存在一个定义明确的“入队-出队”变换，可将 Ev 更新为 e_0。此步骤不会改变 $\mathcal{K}$，但会改变系统的动力学分配。

• 如果 $\mathcal{P} = \emptyset$，则系统满足 PP1 中描述的稳态条件。

3. 时间箭头约束

对于所有转换 $\Sigma \xrightarrow{e} \Sigma'$，单调性规则 $\Sigma'.\mathcal{TS} > \Sigma.\mathcal{TS}$ 确保转换项 δ的唯一性。由于转换记录集 Δ 是一个单调递增的并集，系统排除了逻辑循环（循环）的可能性。根据依赖类型论的规范形式引理，在良构的 Σ下，没有任何 Op 能产生类型不匹配的待处理项。总之，良构的 KOS-TL 内核配置始终能够演化到下一步骤，直到所有事件都被清除。 □

定理10. 演化一致性

设良构的内核配置为 $\mathcal{C} = \langle \Sigma、 Ev\ \Delta \rangle$，其中状态为 $\Sigma = \langle \mathcal{K}、\ \mathcal{TS}、\ \mathcal{P} \rangle$。若其满足：

(1) 状态合法性：对于所有$(id_i, t_i, A_i) \in \mathcal{K}$，存在 $\Gamma_{Core} \vdash t_i : A_i$ 和 $\mathcal{K} \not\vdash \bot$。

(2) 因果完备性：活动事件 *Ev* 携带一个有效证明项 *Prf*: *Pre*(*Args* Σ).

如果内核执行一次小步演化 $\mathcal{C} \xrightarrow{step} \mathcal{C}'$，那么新的配置 $\mathcal{C}' = \langle \Sigma', Ev', \Delta \cup \{\delta\} \rangle$ 仍保持状态合法性和全局逻辑一致性。

证明。 我们通过对配置转移的原子性质进行分类和讨论，展开证明。

1. **计算归约步骤（原子项演化）**
   如果归约仅涉及 Ev $\rightarrow$ Ev′（例如证明项的内涵化简或参数替换），而知识库 $\mathcal{K}$ 保持不变：

   • **一致性继承**：由于 $\mathcal{K}$ 不会发生变化，且已知 $\mathcal{K} \not\vdash \bot$，因此一致性自然得以保留。

   • **主题归约**：根据 KOS-TL Core 的元理论，依赖类型项的归约会保留其类型。由于 Ev 在 Σ 下是良构的，归约后的 Ev′ 仍满足原始类型签名。

2. **状态转换步骤（核心演化运算符）**
   当执行 Op 导致 $\mathcal{K} \rightarrow \mathcal{K}'$ 时，系统执行算子提交（operator commit）($\mathcal{K}$, ku_{new})。我们分析新知识条目 ku_{new} 及其证明的一致性：
   情况 A：单调扩张

   • **弱化引理的应用**：如果 ku_{new} 与现有知识不存在冲突，根据构造性逻辑的弱化引理（Weakening Lemma），原始 $\mathcal{K}$ 中的所有证明在 $\mathcal{K}'$ =$\mathcal{K} \cup \{ku_{new}\}$中仍然有效。

   • **安全闭包**：由于 Ev 包含 Post : $\Sigma' \rightarrow$ 命题，内核会强制在具体化 $\mathcal{K}'$之前检查后置条件。若检查通过，则可正式保证 $\mathcal{K}' \not\vdash \bot$。

   案例 B：冲突缓解

   • **逻辑隔离**：如果 ku_{new} 引入了逻辑矛盾（即存在 $\pi : \mathcal{K}$, $ku_{new} \vdash \bot$），内核的保护机制会阻止直接合并。

   • **否定引入构造**：内核会改为构造 absurd(ku_{new}, π)，并将其存入知识库。在语义模型中，这相当于将冲突转化为针对输入信号的证伪结论。由于该矛盾被包裹在否定构造子中，因此无法作为消去规则的前提，从而保护全局一致性。

3. **时态箭头与转换记录的约束** 为了证明演化轨迹是合理的，内核使用 Δ构造因果证据 δ :

   • **时钟单调性的证明**：每次演化都伴随着 $\mathcal{TS}' > \mathcal{TS}$。这证明了 Σ' 并非 Σ 的简单循环，而是一个逻辑单调后继。

- **物化归纳**：系统状态 Σ_n 的合法性可以通过归纳追溯至初始空状态 Σ_0：

$$\Sigma_n = \mathsf{Apply}(\delta_n, \mathsf{Apply}(\delta_{n-1}, \ldots \Sigma_0))$$

每个 $\delta_i = \langle \Sigma_{i-1} \xrightarrow{e_i} \Sigma_i \rangle$包括对 Pre 的验证以及对 Post 的满足，确保每个 link 在 Evo 链都与逻辑基础保持一致。

□

此证明说明了 KOS-TL 如何处理现实世界中的“脏数据”（例如错误的银行交易或传感器误报）：逻辑防火墙：演化一致性确保，任何试图破坏系统一致性的数据，都会在统一阶段转化为“关于矛盾的证据”，而不会让系统本身陷入矛盾。双向同步安全性：在你之前提到的“全球供应链”示例中，即使底层数据库遭到非法篡改（产生冲突数据），演化一致性也会促使内核生成一个反驳项，从而维护本体视图层的逻辑纯粹性。

这两项主要属性共同界定了 KOS-TL 内核的操作边界：进展性保障内核不会陷入活锁（无活锁性）。只要逻辑是良构的，内核分析程序就会持续运行并产出分析结果。演化一致性保障内核的运行时安全性。它确保内核知识库在动态运行过程中绝不会退化为一个自相矛盾的废弃系统。

定理 11. 局部可判定性定理

给定内核状态 Σ、新事实 ku_{new} 和搜索边界 $\Delta = \{depth, fuel\}$，内核运算符 *unify*$(\Sigma, ku_{new}, \Delta)$ 的执行过程是可判定的。

证明。该证明通过对搜索空间和归约步数进行双重归纳而完成 s:

1. 搜索空间的有限性：

由于内核对 $depth$（递归深度）的限制，证明搜索树会被强制剪枝至有限高度。每一层的合一候选项数量由上下文 Γ中的变量数量决定，而该数量也是有限的。

2. 通过燃料强制终止：

引入 $fuel$ 参数（计算能量）。每次执行 β归约或 δ展开都会消耗一个单位的 $fuel$。

- 算法会在每次操作前检查 $fuel > 0$。
- 由于 $fuel$ 是一个自然数，并且会随着步骤数的增加而严格递减，根据良序原理，计算必须在有限步骤内要么达到范式，要么耗尽 $fuel$。

3. 结果集的完备性：

当计算停止时：

- 如果范式匹配，则返回**真**。
- 如果发现结构冲突（例如构造子不匹配），则返回**假**。
- 如果因 $depth$ 或 $fuel$耗尽而停止，则返回 **未知**。

由于该算法保证在所有路径上都会终止，因此该过程是可判定的。 □

4.5 应用示例：质量异常追踪与推导

在制造场景中，检测到批次缺陷时，内核层会自动触发追踪逻辑。

- **事件定义**：let e_{trace} 为追踪事件。– 前置条件：状态中存在一个缺陷报告项 r : 缺陷报告。

– 操作：根据生产日志，搜索与该批次关联的设备异常记录 s : 设备状态。– 后置条件：生成并物化一个因果链知识对象 cc : 因果链。

• **演化过程**：运行时细化缺陷报告并将其存储在 Σ中后，内核层发现根据上述方程， p : Pre 成立，并自动执行 Op。系统从“存在已知缺陷”状态迈出一小步，进入熵更高的“已知缺陷原因”状态。

示例 4. 跨境合规转账事件（$e_{transfer}$）
假设当前系统状态为 σ，其中包含账户 A 和 B的余额。我们希望定义一个事件，用于将金额 v 从 A 转账至 B。

1. 状态定义（$\sigma \in \Sigma$）
状态 σ 是一个知识快照，其中包含： $Balance(A, \sigma) = 1000$ $Balance(B, \sigma) = 500$
2. 特定事件构造 *(*$e_{transfer}$: *Ev)*
根据你对 *Ev* 的定义，该事件由三个部分组成：前置条件（*pre*）：

$$\mathit{pre} \equiv (Balance(A, \sigma) \geq v) \wedge \mathit{IsVerified}(A)$$

（解释：账户 A 的余额必须充足，且 A 必须已通过实名认证。）
动作算子（*act*）：

$$\mathit{act}(\sigma) \equiv \sigma[Balance(A) \leftarrow Balance(A) - v, Balance(B) \leftarrow Balance(B) + v]$$

（解释：这是一个描述状态变化方式的函数：从 A扣款，并向 B加款。）
变换后自证明 *(post_prf)*：这是一个证明项，保证：对于任何满足 *pre* 的状态 σ，执行 *act* 后的新状态必须满足守恒律 *(*$Sum_{after} = Sum_{before}$*)*。

$$\mathit{post\_prf} : \Pi(\sigma : \Sigma).\mathit{pre} \rightarrow \mathit{Correct}(\mathit{act}(\sigma))$$

3. 执行过程：小步转换 *(*Δ*)*
当内核尝试执行此转账时，会发生以下判断过程：类型检查：内核首先验证 $\Gamma \vdash e_{transfer}$: 事件。如果开发者的动作逻辑有误（例如只扣款却未入账），则无法构造 *post_prf*，该事件将在编译阶段被拒绝。

触发转换：输入当前快照 σ 和事件 e。

$$\mathit{STEP}(\sigma, e_{transfer}) \rightarrow \sigma'$$

生成转换记录 *(*Δ*)*：生成一个三元组 $(\sigma \xrightarrow{e_{transfer}} \sigma')$。此记录将永久存储在演化轨迹 Δ中。

5 KOS-TLRuntimeLayer：环境交互与信号细化

运行时层是 KOS-TL 逻辑系统与物理世界之间的边界。它负责处理非确定性外部信号、管理计算资源、调度事件队列，并将内核层生成的逻辑状态持久化到物理存储中。

5.1 语法

运行时层的状 态由配置 Cfg 描述，该配置将逻辑内核嵌入物理主 t:

$$Cfg \equiv \langle \Sigma, Q_{raw}, \mathsf{Env}, \mathcal{M} \rangle \tag{2}$$

其中:

• Σ — 逻辑内核状态 这是系统在逻辑层面的“当前大脑”形态。它包含知识库 $\mathcal{K}$、逻辑时钟 $\mathcal{T}$和待处理意图队列 $\mathcal{P}$。它代表系统当前认定为“真实”且“已证明”的所有逻辑事实。运行时层会观察 Σ，以决定接下来要在外部执行哪些动作，或如何响应外部信号。

- Q_{raw} — 原始物理信号队列
  这是系统的“感知输入缓冲区”。它存储来自外部物理世界（例如传感器、网络数据包、用户点击）的原始二进制或文本数据，这些数据尚未被逻辑化。信号的到达是随机的。此处的信号尚无相应的逻辑证明（Proof）；它们只是“脏数据”，是精化算子（elab）的原材料。系统从 Q_{raw} 中获取信号，并尝试将其提升为内核能够理解的事件。
- 环境——物理运行时环境
  这是系统所在的物理主机上下文。它包括逻辑层无法直接感知、但运行时层必须管理的物理资源：（1）物理时钟（T_{wall}）：类似于现实世界中的挂钟时间，用于超时判定。（2）输入/输出句柄：数据库连接池、网络套接字、硬件寄存器地址。（3）计算资源：内存状态、线程池负载等。在执行精化算子（elab）期间，环境提供构造逻辑证明所需的物理证据（例如传感器自检成功状态位）。

- $\mathcal{M}$— 具体化映射与存储

  $$\mathcal{M} : \mathcal{K} \to \text{物理存储}$$

  这是系统的“记忆”和“物理投影”。 $\mathcal{M}$ 既表示物理存储（例如磁盘数据库），也表示从逻辑项到物理表示的映射规则。其作用包括：（1）投影：将内核层中的抽象“依赖对知识”映射为数据库中的“行、列、索引”。（2）持久化：确保逻辑演化的结果 Σ 安全地写入非易失性存储。（3）外部一致性：确保物理世界中看到的状态（例如屏幕上显示的余额）与逻辑内核 Σ保持同步。

调度器主循环逻辑（体现在驱动内核算子中）：

当 Q_raw不为空时：s = 从 Q_raw 弹出；匹配 elab(s,Env)：case (e)：// 调用内核层定义的转移规则 若 <Sigma,e> -->_KOS Sigma’：Sigma =Sigma’ 提交_到_存储(M, Sigma) case None：记录_精化_失败(s)

运行时层引入了精化器（Elaborator），其语法功能是将“脏数据”转换为核心层可理解的“构造子项”：

$$\mathsf{elab} : \mathsf{RawSignal} \to \mathsf{Env} \to \mathsf{Option}\left(\sum_{e:\mathsf{Ev}} \mathsf{Pre}(e, \Sigma)\right)$$

精化器是 实现“信号逻辑化”的网关。其核心任务是为外部数据补充证明项：

$$\mathsf{elab}(s, \mathsf{Env}) = \begin{cases} \mathsf{Some}(\langle e, \pi \rangle) & \text{if } \pi : \mathsf{Pre}(e, \Sigma) \text{ can be constructed} \\ \mathsf{None} & \text{otherwise} \end{cases} \tag{3}$$

细化过程包括：

- **信号解析**：将外部 JSON/二进制流解析为基础排序值（值，标识符）。
- **证明构造**：根据当前环境，自动尝试为前置条件构造逻辑证明项 p。

- **时间锚定**：将物理接收时间映射为核心层的时间类型。

5.2 运行时语义

运行时层的演化被描述为一种“异步驱动的小步转换”，其核心规则是“精化-提交”循环。运行时层的语义规则必须包括对外部环境的更新和存储持久化：

$$\frac{s = \mathsf{head}(Q_{raw}) \quad \mathsf{elab}(s, \mathsf{Env}) = \mathsf{Some}(\langle e, \pi\rangle) \quad \langle \Sigma, e, \pi\rangle \longrightarrow_{KOS} \Sigma' \quad \mathsf{Persist}(\Sigma', \mathcal{M}) = \mathsf{Success}}{\langle \Sigma, s :: Q, \mathsf{Env}, \mathcal{M}\rangle \xrightarrow{\mathsf{commit}} \langle \Sigma', Q, \mathsf{Env}', \mathcal{M}'\rangle} \tag{4}$$

此处， $\mathcal{M} \vdash \Sigma' \Downarrow \mathcal{M}'$ 表示新状态 Σ' 已成功“向下转型”（Down-cast），并物化到物理介质 $\mathcal{M}'$中。

5.3 逻辑性质

在运行时层中，我们将每个执行动作（Action）建模为一对 $e = (t, p)$，其中 t 是目标命题（任务），而 p 是其对应的证明项。

定义 19. 因果依赖序

设 $\mathcal{E}$ 为系统中所有可能执行项的集合。定义因果依赖关系 $\prec_L \subseteq \mathcal{E} \times \mathcal{E}$：若在核心层中，命题 t_2 的构造项引用了 t_1 （即 t_1 是 t_2 的前提），则称 $e_1 \prec_L e_2$。

定义 20. 运行时执行序列

执行序列 $S = [e_1, e_2, \ldots, e_n]$ 是一个全序集合，表示运行时层实际处理数据的物理时间顺序。

定理 12. 因果顺序一致性

对于任意运行时执行序列 S，若该序列被内核接受（已接受），则对于 S 中任意两个执行项 e_i 和 e_j，必须满足：

If $e_i \prec_L e_j$, then in the sequence S, e_i must precede e_j in completion of reduction.

如果物理网络导致 e_j 先于 e_i到达，运行时必须阻止 e_j 的执行，直到e_i 的证明项完成。

证明。 我们结合核心层的类型检查机制，采用反证法（反证法）进行证明。

步骤 1：假设存在乱序执行。

假设运行时接受了一个违反因果顺序的序列 S'，其中存在 e_j 在 e_i之前完成执行，且已知 $e_i \prec_L e_j$。

步骤 2：核心层约束映射。

根据 $\prec_L$的定义，在核心层中，对 e_j 的证明项进行验证取决于 e_i是否存在。其类型检查规则如下：

$$\frac{\Gamma \vdash p_i : T_i \quad \Gamma, x : T_i \vdash p_j : T_j}{\Gamma \vdash \langle p_i, p_j\rangle : \Sigma(x : T_i).T_j}$$

这意味着，要判定 e_j 合法，内核必须将 e_i 的证明项纳入上下文 Γ。

步骤 3：运行时状态演化。

运行时的状态是 由上下文序列 Γ_t表示的。执行 e_j时，其运算符为 check($\Gamma_{current}$， e_j).

- 如果尚未执行 e_i ，则 $e_i \notin \Gamma_{current}$。
- 此时，根据核心层的 **作用域确定性**，在 e_j 中引用 e_i 将产生“未定义变量”错误或“自由变量”逸出。
- 类型检查器将返回失败。

步骤 4：阻塞机制的必然性。

由于 KOS-TL 的运行时强制执行**类型安全栅栏**，任何失败的验证操作都无法更改Σ 事实库的状态。若要继续执行，运行时调度器必须暂停 e_j，将其置于待处理池（PendingPool）中，并发出 Requirement(e_i) 信号。

步骤 5：结论。

只有当 e_i 到达并成功归约为 Γ 时， e_j 的上下文才满足验证条件。因此，最终的"已接受"序列必须满足因果顺序。

□

定理 13. 精化保真度

令 $\mathcal{S}$ 为物理硬件状态空间（例如 *FPGA* 寄存器或传感器读数集合）， $\mathcal{D}_{Core}$ 为逻辑域。定义细化函数 $\mathcal{E}$: $\mathcal{S} \to \mathcal{D}_{Core}$。如果运行时捕获物理状态 $s \in \mathcal{S}$，以获得 $ku = \mathcal{E}$ （ s ），则满足：

(1) 良构性：存在一种类型 $A \in \mathcal{U}$，使得 $\Gamma \vdash ku$: A 始终成立。

(2) 仿真一致性：对于物理迁移 $s \xrightarrow{hw} s'$，存在仿真关系 $R \subseteq \mathcal{S} \times \mathcal{D}_{Core}$，使得：

$$(s, ku) \in R \implies \exists ku'.(s', ku') \in R \wedge (ku \xrightarrow{small}{}^{*} ku' \vee \textit{Invalidated}(ku'))$$

证明。 我们通过构造仿真关系并将其与硬件抽象层（HAL）的归约相结合来证明：

1. 构造仿真关系 R：

定义关系 R 如下：

$$(s, ku) \in R \iff (\mathsf{val}(ku) = \mathsf{measure}(s)) \wedge (\mathsf{proof}(ku) \models \mathsf{Inv}_{HW}(s))$$

其中，measure(s) 是对物理信号的量化，而 Inv$_{HW}$(s) 是由硬件电路（例如冗余校验位或看门狗状态）强制实施的物理不变量。

2. 良构性映射证明：

根据 TL-Lang 的运行时细化规则， $\mathcal{E}$(s) 的构造如下：

$$\mathcal{E}(s) \triangleq \langle \mathsf{quantize}(s), \mathsf{synthesize\_witness}(s) \rangle$$

由于 synthesize_witness 是由硬件描述语言（HDL）定义的确定性算子，因此它会将硬件寄存器状态 Reg_{status} 直接映射为核心层中的引入项（引入规则）。根据 Σ 类型的构造原则，只要硬件信号处于物理范围内，就总能构造出良构项ku 。如果信号超出范围，细化函数则依据完备性将其映射为预定义错误类型项，同时仍保持良构性。

3. 模拟一致性证明：

对物理状态迁移 $s \xrightarrow{hw} s'$进行分类：

- **案例 A：合规迁移。**
  如果 s' 满足所有硬件安全约束，细化函数 $\mathcal{E}$ 会提取新的状态位并合成新的证明项 p'。由于硬件层保证 s' 是通过合法逻辑门由 s 产生的，因此在核心层中，相应的映射项 ku' 必须通过内核归约步骤（例如β 或 ι归约）从 ku 演化而来，同时保持仿真关系。
- **案例 B：非法/异常迁移。**
  如果物理迁移违反 Inv$_{HW}$ （例如传感器断开），硬件状态位就会翻转。此时，细化映射 $\mathcal{E}$(s')无法构造原类型 A的项，而是构造 Invalidated(ku')。这种从"正常项"到"无效项"的转变，在内核层表现为结论的非单调翻转，符合 KOS-TL 关于冲突处理的语义；仿真关系在"错误处理"维度上仍然保持。

总而言之，细化过程确保物理世界中的任何有效变化都能在逻辑世界中找到相应的真值表示。

□

定理 14. 观察充分性

令 $\mathit{ctrl} \in \mathcal{D}_{Core}$ 为内核生成的逻辑控制项，其类型指令集为 *Cmd*。令 $\mathcal{G}:\ \mathit{Cmd} \to \Pi^*$为指令生成器，将逻辑项映射为硬件指令序列 π。如果 $\Gamma \vdash \mathit{ctrl}:\ \mathit{Cmd}$ 且逻辑层断言 *ctrl* 满足属性 ϕ，则：

$$\forall s \in \mathcal{S},\quad (\mathit{ctrl} \vdash \phi) \implies (\mathit{Exec}(\mathcal{G}(\mathit{ctrl}), s) \models \mathit{Refine}^{-1}(\phi))$$

其中，$\mathit{Refine}^{-1}(\phi)$ 是逻辑属性 ϕ 在物理状态空间 $\mathcal{S}$中的谓词解释。

证明。 我们结合霍尔逻辑和精化演算进行证明：

1. 构造映射关系：

定义逻辑谓词 ϕ 与物理状态谓词 P 之间的映射 $\mathcal{M}:\text{Prop} \to \mathcal{P}(\mathcal{S})$。根据精化保真度的逆映射，如果 *ctrl* 的语义目标是使系统进入状态 ϕ，那么相应的底层寄存器状态必须满足 $P = \text{Refine}^{-1}(\phi)$。

2. 反向推导：

对 Cmd 类型的构造进行归纳：

- **原子操作（原子指令）：**

  如果 *ctrl* 是一个原子操作（例如 SetValve(open)），则在 TL-Lang 的底层归约中，它会映射为一个特定的机器码序列 π_a。根据硬件抽象层（HAL）的霍尔三元组定义：

  $$\{s \in \mathcal{S}\}\,\pi_a\,\{s' \in \text{Refine}^{-1}(\phi)\}$$

  由于 $\mathcal{G}$ 在构造过程中已基于 HAL 公理通过静态验证，因此 HAL 的完备性保证了指令生成的正确性。

- **复合操作（序列与分支）：**

  如果*ctrl* 由多个子项组成，则根据霍尔逻辑的组合规则：若 $\{P\}\,\pi_1\,\{Q\}$ 且$\{Q\}\,\pi_2\,\{R\}$，则 $\{P\}\,\pi_1;\ \pi_2\,\{R\}$。由于 Cmd 类型在核心层满足**强规范化**，生成的指令序列 π 长度有限且路径确定，在逻辑层中不会产生未定义的副作用。

3. 原子性与干扰分析：

在物理执行期间，如果发生中断，运行时必须保持观测一致性。KOS-TL 的运行时采用事务性 I/O 机制。由 $\mathcal{G}$（*ctrl*）生成的每组 π 都被封装在一个逻辑原子块中。根据内核的“进展性”证明，该序列要么完整执行并实现 $s' \models \text{Refine}^{-1}(\phi)$，要么在失败时回滚，并向内核提交一个已失效证明项。在此机制下，不会出现“指令已执行但未实现目标”这种含糊的中间状态。

结论： 逻辑层的语义目标 ϕ 可以无损地映射到物理状态空间。 □

属性讨论：弥合“软硬件鸿沟” 观察充分性通过消除语义鸿沟，解决了在实际高安全场景中防范“指令漂移”的问题：在传统的 C/C++ 开发中，编译器优化或驱动程序错误可能导致执行效果偏离设计意图（例如，指令重排导致的竞态条件）。在 KOS-TL 中，由于指令生成器 $\mathcal{G}$ 已得到形式化证明，因此“意图与行为”之间的这种偏差在逻辑上得以消除。可验证的物理效果：如果某个金融账户在逻辑上被冻结，观察充分性可确保底层数据库中的相应记录也被锁定，并保证该操作具有原子性。

我们将系统的状态空间定义为 $\mathcal{S}$，并将系统状态分解为两个视图：逻辑视图（$\mathcal{S}_L$）：内核内存中的类型上下文 Γ 和归约事实库 Σ。物理视图（$\mathcal{S}_P$）：存储介质（磁盘或固态存储）中的持久化比特流。定义映射函数 Encode：$\mathcal{S}_L \to \mathcal{S}_P$，将逻辑证明项转换为物理存储格式。

定理 15。 持久性、原子性与可见性

令系统在时间 t 执行状态转换 δ：$\mathcal{S}_L \to \mathcal{S}'_L$。运行时层保证存在一个原子操作符提交，并满足：

（*1*）原子性类型：当且仅当 *Encode*($\mathcal{S}'_L$) 已完全持久化到 $\mathcal{S}'_L$ 时， $\mathcal{S}'_L$ 的逻辑确认成立 $\mathcal{S}_P$.

*(2)*可见性：对于任何后续读取操作 *Recover*，若 *Commit* 已成功，则 *Recover*($\mathcal{S}_P$) $\equiv \mathcal{S}'_L$必然成立。

也就是说：*here* 不存在这样的状态：证明在逻辑上已成立，却在物理重启后丢失 *rt.*
T

证明。 我们通过构造一个“逻辑-物理同步锁”和幂等归约机制来证明。首先，将系统的状态空间定义为 $\mathcal{S}$，并将系统状态分解为两个视图：

- 逻辑视图（$\mathcal{S}_L$）： 内核内存中的类型上下文 Γ 和归约事实库 Σ 。
- 物理视图（$\mathcal{S}_P$）： 存储介质（磁盘或固态存储设备）中的持久化比特流 ge).

定义映射函数 fu nction Encode： $\mathcal{S}_L \to \mathcal{S}_P$，它将逻辑证明项转换为物理存储格式。

步骤 1：构造证明项的持久化序列化。 KOS-TL 中的每个逻辑变更 $\Delta\Sigma$ 都是具有 Id 类型的证据。令 $\Delta\Sigma =$（p: T）。持久化过程建模为一个依赖对：Record $\equiv \Sigma$（p: T）。Persist（p），其中 Persist（p）是一个硬件级原语，仅在物理写入完成后才返回一个见证。

步骤 2：证明原子性。 运行时维护一个预写日志（WAL）机制，其条目本身就是核心层中的项。

- 如果系统在 Write($\mathcal{S}_P$) 期间崩溃，由于 Persist(p) 尚未生成有效的见证，根据核心层的 **合流性**，恢复算子 Recover 在重启时会发现该事务不满足 Σ 类型的完备性，并自动回滚。
- 只有当物理层返回 p_{stored} 时，逻辑层才会将 Γ 更新为 $\Gamma \cup \{p\}$。

步骤 3：证明可见性（一致性恢复）。假设系统重新启动。由于核心层的 **强规范化** 属性:

- 存储在 $\mathcal{S}_P$ 中的每个证明项 p 都是自包含的，并且已经归约。
- Recover 运算符通过重新执行类型检查 check(Γ, p, T) 来重构逻辑视图。
- 由于核心层具有可判定性，且归约路径受到合流性的保护，因此恢复出的逻辑 状态 $\mathcal{S}_L^{rec}$必然在逻辑上等价于崩溃前最后一个有效的提交状态 $\mathcal{S}'_L$ （$\mathcal{S}_L^{rec} \equiv \mathcal{S}'_L$）。

结论： 原子物理写入保证了逻辑状态的不可撤销性，而逻辑层的强规范化则确保物理数据在任意时刻重新加载时，都会产生唯一且确定的逻辑解释。 □

定义 21. 半可判定性

一个集合 $S \subseteq \mathbb{N}$ （或命题语言 L）称为半可判定的，如果存在一台图灵机（或算法） M，使得对于任意输入 x:

- 如果 $x \in S$，那么 M（x）会停机并接受；
- 如果 $x \notin S$，那么 M（x）要么停机并拒绝，要么无限运行（停机问题未知）。

定理 16. 证明搜索的半可判定性

设 Γ 为有限上下文， P 为一个命题。判定“是否存在一个证明项 p 使得 $\Gamma \vdash p$： P”的问题是半可判定的。

证明。 在包含依赖类型和高阶逻辑的 KOS-TL 系统中，不加 $Fuel$ 限制时，证明搜索问题是半可判定的。我们通过构造一个通用枚举器（枚举器）来证明该定理。

步骤 1：证明项的可枚举性。

KOS-TL 核心层中所有良构证明项都由一组有限的句法规则生成（例如 λ-抽象、应用、配对构造等）。我们可以按项的长度（或结构复杂度）以字典序枚举所有可能的证明项，并将其记为序列 $\{p_1, p_2, p_3, \dots\}$。

步骤 2：构造判定算法 $\mathcal{A}$。

对于给定的命题 P和上下文 Γ，算法 $\mathcal{A}$ 执行以下步骤：

1. 开始一个循环，依次检索一个证明项 p_i。2. 调用核心层的类型检查器，验证 check(Γ， p_i， P)。由于核心层的**强规范化性质**，此步骤必定会在有限时间内返回 $True$ 或 $False$ 。3. 如果返回 $True$，算法 $\mathcal{A}$ 便停机，并输出“P 可证明。”4. 如果返回 $False$，则继续循环并检查下一个项 p_{i+1}。

步骤 3：分析停机行为。

- **情形一：** P**确实可证明**。那么，必定存在某个满足该条件的证明项 q 。由于我们的枚举是完备的，我们会在有限步内遇到 $p_k = q$，此时算法便会停机。
- **情况二：** P**不可证明**。 算法会在循环中永远枚举并检查新项，不会终止。

结论：

算法 $\mathcal{A}$ 能够识别所有“真”命题（可证明的命题），但无法保证对“假”命题（不可证明的命题）终止。根据定义，该问题是半可判定的。 □

定义 22。 可判定性证明的一些定义

- 命题空间 P：所有良构的 *KOS-TL Core* 命题。
- 证明算法 $\mathcal{A}$：运行时层中尝试寻找命题 p： P 的自动化过程。
- 资源向量 $\vec{\Delta} = \langle f, d, \tau \rangle$：– $f \in \mathbb{N}$ （燃料）：归约步骤的最大数量。– $d \in \mathbb{N}$（深度）：搜索的最大递归深度。– $\tau \in \mathbb{R}^+$ （超时）：物理挂钟时间限制。

定理 17. *KOS-TL*运行时的有界可判定性

设 P是运行时要判定的逻辑命题。存在一个判定过程 $\mathcal{R}(P, \vec{\Delta})$，对于任意 P和有限的 $\vec{\Delta}$， $\mathcal{R}$ 都必定在有限时间内终止，其输出空间为： $\mathcal{O} = \{$真、假、未知$\}$，其中未知是确定性的“资源耗尽”状态。

证明。 通过对执行步骤数 k 进行结构归纳，并利用度量函数的单调性，即可完成证明。

步骤 1：度量函数的定义。

定义当前执行快照 σ的度量函数 $\mu(\sigma)$：

$$\mu(\sigma) = \langle \text{fuel}, \text{depth}, \text{remaining\_time} \rangle$$

在每个逻辑执行步骤（一次原子状态转换 $\sigma \to \sigma'$）中，这个度量函数都按字典序严格递减：

$$\mu(\sigma') <_{lex} \mu(\sigma)$$

步骤 2：状态转换的完备性分类。

对于运行时的单步操作，其逻辑只有三种可能：

1. **逻辑项 的确定**：找到一个证明 p 或冲突 π。此时，算法直接返回 True 或 Fals e.
2. **继续归约**：资源尚未耗尽（$\mu > 0$）。算法进入 σ_{k+1}，且由于 μ 是良基的，此路径不可能无限延伸。

3. **边界 Hi t**：$\mu(\sigma)$ 的任一分量归零。算法立即停止并返回未知 .

步骤 3：终止性证明。
由于 $\mu(\sigma)$ 的取值范围是有限的自然数集合（或有界实区间），根据**良序原理**，任何严格递减序列都必须在有限步内达到最小值。在 KOS-TL运行时，最小值对应输出集 $\mathcal{O}$。

步骤 4：可判定性验证。
可判定性意味着算法对所有输入都会停机。因为:

- 核心层保证每个原子归约步都是可判定的；
- 步骤总数被强制限制为 Δ。

因此，运行时不再具有半可判定性的"无限搜索"特征，程序也就成为一个作用于输入命题和资源边界的全函数。
□

5.4 应用示例：因果修复越序 **示例：因果修复越序 日志**
在制造场景中，如果设备异常信号 s_{ES} 因延迟而晚于质量检测信号 s_{QI}到达:

- **细化阻塞**：当 s_{QI} 到达时，细化算子发现无法构造用于证明"设备异常已存在"的证明 p，运行时便将该事件放入待处理队列。
- **证据补全**：s_{ES} 到达后，运行时层更新 Σ。此时，调度器检测到环境变化，并重新触发对 s_{QI}的细化。
- **逻辑物化**：逻辑证据补充后，内核层通过原子转换补全原先中断的因果链，最终，运行时层将追踪结论写入物理数据库。

示例 5. 工业传感器触发的安全停机

1. 配置状态

当前运行时状态 $\langle \sigma, Q,$ 环境$\rangle$ 如下： σ （逻辑快照）：设备状态为运行中，温度阈值为 $80°C$。 Q （事件队列）： $[\dots]$ （当前为空）。环境（外部环境）：已连接到 *Modbus*协议温度传感器。

2. 外部流与注入

传感器向系统发送原始比特流： s （原始信号）：*0x4A 0x02*（表示温度读数为$82°C$）。动作：*inject(s, Q)* 将此十六进制信号推入待处理队列。

3. 细化过程：*elaborate(s)*

运行时层尝试将这个"无意义"的数字转换为内核层识别的"语义事件"：细化逻辑：*elaborate* 查找配置规则，并发现 *0x4A* 是温度警报。映射结果：映射为 *L1*层事件 e_{stop}。 $e_{stop}.$*pre*：当前状态必须为运行中。 $e_{stop}.$*act*：将状态更改为已停止。$e_{stop}.$*post_prf*：证明此操作符合"超温强制保护公理"。

4. 调度与判定

根据你提供的调度算法，系统执行如下：弹出：从 Q 中取出 s。精化：s 成功精化为 e_{stop}。内核_检查：运行时调用内核层判定 $\Gamma \vdash e_{stop}$： 事件。验证通过：该事件携带正确的后置_*prf*（在 $82°C$ 关闭，符合安全定义）。步骤：逻辑状态更新： $\sigma_{new} = \textit{STEP}(\sigma, e_{stop})$。

5. 持久化：提交与物化

动作：提交(σ_{new})。物化存储 $\mathcal{M}$：将更新后的状态写入物理数据库（例如 *PostgreSQL*），并触发物理硬件继电器断开电流。

6 KOS-TL 系统

整合 KOS-TL 的内核层、核心层和运行时层，构成 KOS-TL（知识操作系统—类型逻辑），也称为“知识-行动逻辑”。知识-行动逻辑是一个完整的逻辑系统，基于直觉主义依赖类型理论，并结合小步操作语义。它通过分层架构，统一了对知识的静态约束、动态演化和环境细化。

6.1 总体架构

KOS-TL 的语法由三个嵌套的表达式层构成，涵盖从抽象类型到物理配置的完整范围。

6.1.1 核心层：类型定义与逻辑基础（指称基础）

核心层是系统的“大脑”，负责将领域本体映射到依赖类型论。本体集成：将领域公理定义为基本类型（Base Types）和谓词。验证机制：基于BHK解释的类型检查器，确保每个 $t : A$ 都是有效的知识构造。职责：提供静态约束。它规定系统“能够理解什么”以及“什么是真值”。

6.1.2 内核层：动态演化与意图调度（操作引擎）

内核层是系统的“心脏”，负责受控的状态迁移。状态模型：维护三元组 $\sigma = \langle \mathcal{K},\ \mathcal{T},\ \mathcal{P} \rangle$（知识、时间、意图）。演化机制：执行小步操作语义（小步语义）。它调用核心层的判断能力来验证每一次状态跳变。职责：提供动态一致性。它规定系统“如何从当前真值演化到下一个真值”。

6.1.3 运行时层：环境精化与物理执行（物理接口）

运行时层是系统的“感官与肢体”，负责与物理世界进行边界交互。精化：通过 elab 运算符，将模糊的物理信号（信号）提升为核心层认可的证明项。物化：通过 $\mathcal{M}$ 映射，将逻辑结论降解为持久化存储或硬件指令。职责：提供保真性。它规定了逻辑指令如何可靠地作用于物理实体。

6.1.4 架构全局不变式

KOS-TL 的总体映射揭示了一条核心法则：

$$\forall \text{ 物理变化 } \delta \in \mathcal{M}, \quad \exists \text{ 逻辑证明 } p \in \text{核心层 s.t. 类型检查}(p,\ \text{本体}) = \text{通过}$$

6.2 全局交互协议

该协议描述了物理脉冲如何穿越四层架构，并最终固化为全局认可的真理。

6.2.1 阶段 I：精化与注入

(1) 触发方运行时层（外部环境）

(2) 动作

- 物理传感器生成原始信号 $s \in Q_{raw}$。
- 运行时调用核心算子 elab(s,环境)。
- 跨层交互：elab 引用本体层中定义的谓词模板，并在核心层构造依赖对证明项 p : Pre(e, Σ)。
- 结果：生成一个有效意图项 $\langle e,\ p \rangle$。

6.2.2 阶段 II：内核入队与排序

（1）触发方内核层（2）动作

- 内核从运行时接收意图项。
- 调用内核算子 schedule(Σ, e)，将事件挂载到意图队列 $\mathcal{P}$。
- 此时，系统时钟 $\mathcal{T}$保持不变，但 Σ 的配置已进行逻辑预分配。

6.2.3 第三阶段：逻辑归约与判断

(1) 触发方内核层（核心引擎）

(2) 动作

- 内核循环调用 peek(Σ)，从队列中取出头部事件。
- 核心验证：依据核心层的类型检查规则进行判定：$\Gamma, \mathcal{K}, \mathcal{T} \vdash p$: 前置条件($e, \Sigma$)
- 归约计算：执行 Op(e)。此时，核心层执行 β 和 ι 归约，以计算候选新状态 Σ_{try}。
- 后置条件闭合：验证 $\Sigma' \vdash p'$： 后置条件(e)。

6.2.4 第四阶段：原子物化与持久化

(1) 触发方运行时层（存储子系统）

(2) 动作

- 内核向运行时发出已验证的 Σ'。
- 运行时调用物化映射 $\mathcal{M} \vdash \Sigma' \Downarrow \mathcal{M}'$。
- 物理确认：底层数据库返回确认，逻辑时钟执行 tick，正式完成状态跳变。
- 因果锚定：将转移项 $\delta = \langle \Sigma \xrightarrow{e} \Sigma' \rangle$ 记录到物理存储中。

表5：系统演化过程中的实体属性表

Step	实体	数据形式	责任层	属性
1	信号	原始比特流（原始比特）	物理	非确定性
2	证明	依赖对 $\langle e,\ p \rangle$	运行时/核心	构造性
3	意图	待处理队列 $\mathcal{P}$	内核	有序
4	归约	λ-项演化	核心/内核	确定性
5	Fact	持久化知识 $\mathcal{K}$	运行时	不可变

协议一致性保证（全局不变量）该协议强制执行一项全局不变量：“物理存储中的任何位翻转，都必须有一条从本体延伸至核心的完整证明链。”这意味着 KOS-TL 系统不存在“未定义行为”。任何不符合此协议路径的操作（例如非法注入、缺少证明、时钟逆转）都会在相应层被自动拦截，并回滚至先前的良构状态 Σ_{last}。

6.3 交互接口

6.3.1 核心与内核交互接口：类型判断接口（逻辑-内核接口）

- **方向**：内核调用核心。
- **交互内容**：内核将当前意图 e 及其携带的证明项 p 提交给核心。
- **接口原语**：检查(Γ, p,前置条件(e)) 和归约(操作(e) σ)。
- **属性**：内涵性的。它纯粹属于逻辑层面，不感知物理时间或硬件状态。

6.3.2 内核与运行时交互接口：演化驱动接口（内核-运行时接口）

- **方向**：双向。
- **交互内容**：– 向上 （运行时 $\rightarrow$ 内核）： 将细化后的事件对 $\langle e, p \rangle$ 推送到队列中。– 向下 （内核 $\rightarrow$ 运行时）： 发出经验证的新状态 σ' 以进行物化。
- **接口原语**：调度(e, p) 和提交(σ')。
- **属性**：原子性。确保逻辑状态跳跃与物理存储更新同步。

6.3.3 核心层 与运行时的横向依赖：精化模板接口（细化接口)

- **方向**：运行时引用核心。
- **交互内容**：运行时的 elab 运算符需要引用核心层中定义的本体模板，以构造有效证明。
- **属性**：构造性。确保从物理信号中提取的数据符合逻辑规范中定义的种类（Sorts）。

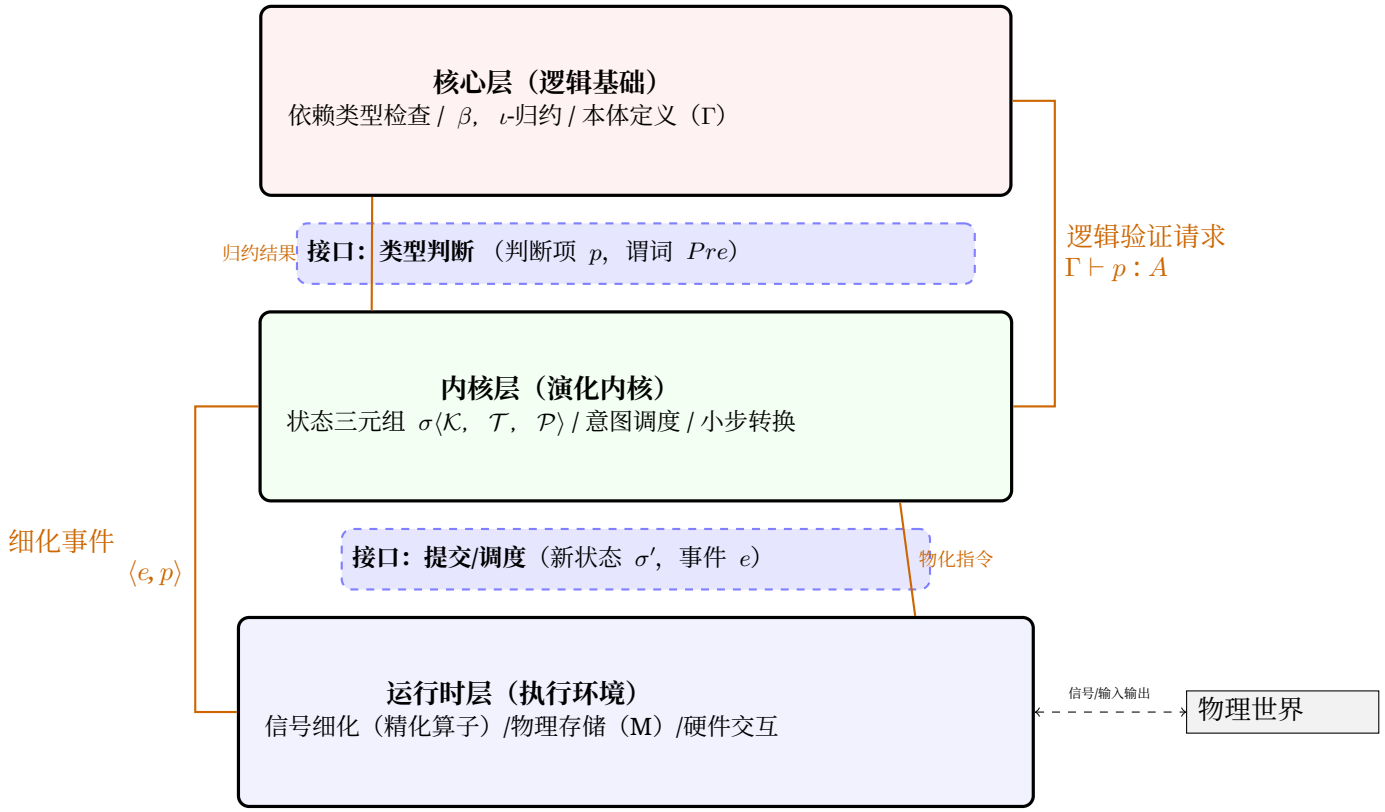

图 1：KOS-TL 分层交互接口图

KOS-TL 通过 Σ-类型，将“知识”（静态知识和证明）与“动作”（动态状态转换）结合起来。从整体上看，它是一个自洽、可计算的逻辑实体：核心提供语义框架，内核提供演化能力，运行时提供环境映射。这种架构使复杂系统不仅能够存储数据，还能通过逻辑归约实现因果追踪和合规性自验证。

6.4 系统属性

定理 18。 知识单调性

令 σ 为内核知识库（即已接受事实的集合），ku 为良构知识对象，且满足$\Gamma \vdash ku :\ A$。如果 σ 满足 ku 的引入条件（记为 $\sigma \vdash ku$），那么对于任何后续状态 σ'，只要满足演化一致性，且不存在针对 ku 的冲突证明 π（即 $\sigma' \nvdash \textit{refute}(ku)$），则：

$$\sigma \subseteq \sigma' \implies (\sigma' \vdash ku)$$

也就是说：在知识库的有效扩展下，已确立的真理保持不变 .

证明。W 我们利用克里普克语义框架和构造性逻辑的弱化引理进行证明 c:

1. 建立框架扩展模型：

我们将内核状态演化定义为一个克里普克框架 $\langle W,\ \leq,\ \Vdash\rangle$，其中：

- W 是所有可能的知识库状态的集合。
- $\leq$ 是 W 上的偏序，其中 $\sigma \leq \sigma'$ 表示 σ' 是 σ 的有效演化后继。
- $\Vdash$ 是强迫关系，其中 $\sigma \Vdash ku$ 表示在状态 σ 中，可以构造知识对象 ku 的证明项。

2. 证明核心层的持存性：

KOS-TL 的核心层基于直觉主义类型论。在直觉主义逻辑中，所有运算符（Π，Σ 等）都满足持存性。我们对 ku 的证明结构进行归纳：

- **基础项**：如果 ku 是原子事实（例如物理常数或已验证身份标识），根据克里普克模型的定义，如果 $\sigma \Vdash ku$ 且 $\sigma \leq \sigma'$，由于 $\sigma \subseteq \sigma'$，那么 ku 及其原有的证明证据仍然存在于 σ' 中。
- **复合项**：如果 $ku = \langle v,\ p\rangle$ 是依赖对，根据归纳假设，值 v 在扩展下保持不变。对于证明项 p，由于 σ' 只会添加新事实，而不会引入反驳 p 的反证（由定理前提保证），根据类型论的**弱化引理**，Γ，$\sigma \vdash p:\ P \implies \Gamma,\ \sigma' \vdash p:\ P$ 仍然成立。

3. 排除因果抵消：

在 KOS-TL 中，只有当内核明确构造出矛盾项 contra(ku) 时，某项才会从“当前活动基”移至“历史档案”。如果 $\sigma' \not\vdash$ refute(ku)，那么在 σ' 的搜索空间中，就不存在能够与 ku 进行归约合并的对立证据。因此，逻辑演化算子 unify 会维持 ku 的可访问性。

结论：$\sigma' \Vdash ku$ 成立，且知识具有单调性。 □

属性讨论：“因果追踪”的意义。知识单调性解决了复杂系统中的“记忆不一致”问题：证据持久化：它保证，如果银行系统在时间 T1 证明某笔事务符合合规要求，除非在 T2 发现证据伪造（反证），否则这一合规结论绝不会因数据库清理或新增其他事务而莫名消失。决策一致性：这使基于 KOS-TL 构建的无人系统（例如自动驾驶）能够维持对环境的长期认知，在处理新的传感器信息时避免“遗忘”先前的安全边界。

定理 19。 计算反身性

在 *KOS-TL* 内核中，存在一个反射算子 ***reflect***，使得对于任意良构项 $t \in \mathcal{D}_{Core}$ 及其在内核层中的演化步骤 ***step***：$t \xrightarrow{small} t'$，系统都能自动合成一个内部证明项 π，满足：

$$\Gamma \vdash \pi : \mathit{EvalPath}(t, t')$$

其中，*EvalPath* 是一种记录 从 t 到 t' 的公理化推导序列的依赖类型。这意味着每一次内核状态变化都伴随着一关于其自身合法性的“元证明”。

证明。 我们使用马丁-洛夫类型论中的恒等类型和元循环映射来证明：

1. 归约步骤的代数映射：

由于 KOS-TL 的核心层基于纯粹且无副作用的依赖类型演算，其计算语义具有引用透明性。每个归约步骤 $t \xrightarrow{small} t'$ 并非随机的内存覆写，而是特定归约规则（例如 β-归约或 ι-归约）的应用。

2. 证明项的自动合成：

对于内核执行的每种基本归约类型，我们定义一个映射函数 $\mathcal{R}$：

- **贝塔归约**：执行 $(\lambda x.M)N \to M[N/x]$ 时，内核使用内部公理贝塔公理构造 $\pi = \text{refl}_{\beta}(M,\ N)$。_
- **约塔归约**：执行 $\text{proj}_1\langle a,\ b\rangle \to a$ 时，内核使用 $\text{proj}_{\_}$ 公理构造 $\pi = \text{refl}_{\_}(a,\ b)$。

由于所有归约规则都在核心层中定义了相应的公理，内核可以在执行计算时同步记录所使用的公理序列。

3. 使用 J 消去子建立等价：

在依赖类型论中，等价类型 $\mathrm{Id}_A(t,\ t')$ 唯一的构造子是 refl。根据 J 算子（恒等消去），如果两个项在逻辑归约下等价，那么它们在所有逻辑谓词下都无法区分。通过将内核的每个执行动作 $t \to t'$ 映射到 J 算子的应用过程，内核实际上在持续构造一份数学见证，说明"我为何从 t 变为 t'"。

4. 元循环自审计：

存在一个子程序 Audit $\subset$ Kernel，它将证明项 π 和路径 EvalPath 作为输入。由于 KOS-TL 的强规范化性质，Audit 可以在有限步骤内验证 π 是否确实支持从 t 到t'的转换。

□

属性讨论：“自主系统”的意义 计算反身性将 KOS-TL 提升到“自觉系统”的层次：全天候自动审计：传统系统需要外部审计日志，而 KOS-TL 的日志就是其执行路径。这意味着审计不是“事后烟雾”，而是“先发证明”。决策透明性：在自动驾驶或金融交易中，当系统做出决策（例如紧急避障或交易拦截）时，反身性确保系统能够立即输出人类可读且数学上有效的“合规解释报告”。自修复的逻辑基础：当系统检测到硬件精化映射发生偏差时，可以通过反身性地比较“预期路径”与“实际路径”，准确定位发生冲突的逻辑算子。

定理 20. 系统级安全性

令 $\mathcal{S}$ 为系统的物理状态空间，*Safe* $\subseteq \mathcal{S}$ 为预定义的物理安全子集。若 *KOS-TL* 系统的初始状态$s_0 \in$ 属于 *Safe*，则对于任意物理演化序列 $s_0 \xrightarrow{hw} s_1 \xrightarrow{hw} \dots \xrightarrow{hw} s_n$，始终成立：

$$\forall i \geq 0, \quad s_i \in \mathit{Safe}$$

在满足以下前提条件的情况下：

(1) 核心层满足一致性（*Consistency*）。*(2)* 内核层满足进展性（*Progress*）和演化一致性。*(3)* 运行时层满足精化保真度（*Refinement Fidelity*）。

证明。Th e 证明采用分层归纳，将物理演化映射为逻辑证明项的归约 s.

1. 基本情况

对于初始状态 s_0，根据运行时的精化保真度：

$$\mathcal{E}(s_0) = ku_0 \quad \text{and} \quad \Gamma \vdash ku_0 : \mathsf{Qualified}(s_0)$$

由于 $s_0 \in$ Safe，相应的谓词是_safe(proj₁(ku_0))，它在核心层中有一个证明项 p_0。

2. 归纳步骤

假设系统在步骤 i 处处于 $s_i \in$ Safe 状态。考虑迁移到步骤 $i+1$:

A. 物理扰动与精化：

当物理环境发生变化 $s_i \xrightarrow{hw} s_{i+1}$（例如传感器值变化或发生硬件故障）时，运行时会立即捕获这一变化，并尝试构造一个新的知识对象 ku_{i+1}:

$$\mathcal{E}(s_{i+1}) = ku_{i+1}$$

B. 内核逻辑判断：

内核将 ku_{i+1} 提交给合一算子。由此产生两个分支：

- **分支 1：** s_{i+1} **仍处于安全状态：** 内核可以根据核心层规则成功构造 p_{i+1} : is_safe(s_{i+1})。根据内核演化一致性，状态 σ 更新为包含 ku_{i+1}，从而维持安全性。

• **分支 2：** s_{i+1} **尝试跨越安全边界：** 此时，无法在核心层构造类型为 is_safe(s_{i+1}) 的证明项。根据核心层一致性（无法证明错误的命题），内核的逻辑引擎会产生归约阻塞（或类型冲突）。

C. 自愈循环：

根据内核进展性，内核不会死锁；它会执行 find_root_cause 并触发分析。运行时从内核接收安全指令 π，根据观察充分性，该指令会在物理层强制执行（例如，熔断器、切换到冗余路径），使物理状态恢复到 $s'_{i+1} \in$ 安全状态。

3. 归谬法

假设存在某个 $s_j \notin$ 安全状态：

(1) 这意味着，运行时必须细化一个逻辑项 ku_j，使得 $\Gamma \vdash ku_j :$ 是_安全状态。(2) 但 $s_j \notin$ 安全状态意味着，is_safe(s_j) 等价于核心层中的 $\bot$（假命题）。(3) 接着可推导出 $\Gamma \vdash ku_j : \bot$。(4) 这违反了核心层一致性定理（系统中不存在表示假命题的项）。(5) 因此，$s_j \notin$ 安全状态在逻辑上不可构造。

□

表 6：KOS-TL 的逻辑谱

属性名称	**所属层**	**核心值**	**形式隐喻 / 定义**
一致性	Core	根除逻辑矛盾	$\sigma \nvdash \bot$
强规范化	Core	确保实时响应	$\forall t,\ \exists v :$ 范式 $t \twoheadrightarrow v$
进展性	内核	持续自愈操作	$\mathcal{C} \not\in$终态 $\implies \exists \mathcal{C}' : \mathcal{C} \xrightarrow{small} \mathcal{C}'$
演化一致性	内核	安全状态演化	$\sigma \xrightarrow{T} \sigma' \implies$ 类型检查(σ') = 成功
单调性	**系统范围 / 内核**	因果证据持久性	$\sigma \subseteq \sigma' \implies (\sigma \Vdash ku \implies \sigma' \Vdash ku)$
保真性	运行时	无损物理映射	$(s,\ ku) \in$ 模拟关系
充分性	运行时	无损指令传递	执行($\mathcal{G}(ctrl)$ s) $\models$ 精化$^{-1}(\phi)$
自反性	**系统范围**	全路径审计跟踪	$\forall t \to t',\ \exists \pi :$ 标识符($t,\ t'$)

6.5 特征与应用

对于跨国银行的合规审计而言，处理数以亿计的 SWIFT交易记录不仅是一个大数据 挑战，从根本上说更是一个逻辑正确性挑战。传统系统通常在统计异常检测（例如识别频繁的大额转账）和硬编码规则引擎之间摇摆，往往导致大量假阳性。随着 KOS-TL 的引入，合规审计从“概率黑箱”转变为形式化因果系统。

下面，我们将详细阐述这一集成方法的逻辑架构和执行工作流。

6.5.1 逻辑抽象：定义反洗钱公理

在 KOS-TL 中，合规不是数据库中的一个标记，而是一个证明目标。

A. 资金流不变量 在核心层，使用依赖类型定义合规事务。合规事务 T 必须满足：

$$\mathsf{ValidTx} \equiv \Sigma(t : \mathsf{TxData}).\ \Sigma(e : \mathsf{Evidence}).\ \mathsf{CheckCompliance}(t, e)$$

其中：

- t: SWIFT message data (sender, receiver, amount),

- e：业务逻辑证据（例如贸易合同、海关申报单的哈希值），
- 合规性检查：一种逻辑函数，用于要求 t 与 e 之间实现语义对齐（例如，货物价值与转账金额在可接受的误差范围内保持一致）。

B. 拓扑公理：无环性 洗钱的一个核心特征是分层与整合，通常表现为资金在多个实体之间流转，最终又回到源头。我们定义路径类型 Path(A, A)。如果能够在不对资金属性进行实质性转换的情况下构造出该类型的一个居民项，则可检测到逻辑矛盾。

6.5.2 集成执行：从海量数据到逻辑证据

阶段 I：大规模筛选（数据库层——效率优先） 底层数据库（例如 ClickHouse 或 Neo4j）利用高并发执行初步的基于图的分析。

- 任务：从数亿条记录中识别可疑环路或高风险节点关联。
- 结果：提取出约 10,000 条可疑交易链。在此阶段，这些交易链在统计意义上存在可疑之处，但尚未得到确凿分类。

第二阶段：证据请求与完善（运行时层 – 保真性）KOS-TL 内核接管这 10,000 条交易链。对于每条交易链，运行时模块都会向业务系统发出证据回填请求。

- 操作：请求与相应 SWIFT 交易对应的底层合同和提单。
- 保真性：证据经过精化，成为 $ku_{\text{证据}}$，并附带不可篡改时间戳和来源证明 fs.

第三阶段：依赖类型验证（核心/内核层 – 严谨性）这是 KOS-TL 的核心步骤。内核尝试为每条可疑交易链构造一个合规性证明项 p。

定理 21. 事务合规验证

对于可疑 链 $L = \{t_1, t_2, \ldots, t_n\}$，若要标记为已验证，就必须构造一个完整的证明项 *d:*

$$P_{total} = \langle p_1, p_2, \ldots, p_n \rangle$$

使得 每个 p_i 都能证明证据 e_i 消除了该链所引发的“循环性假设”。

6.5.3 逻辑拦截

如果某笔事务对应虚假交易（例如，转账金额与合约哈希不匹配），核心层就无法构造证明项。根据一致性定理，内核无法将链状态演化为已验证状态。

6.5.4 案例研究：CoolingSystemFaultHandling

物理状态 s：冷却泵 A 的压力传感器检测到电压波动异常 .

安全目标 安全状态：压力必须保持在 $[P_L, P_H]$ 范围内，且传感器必须具备有效的校准证明。

步骤 1：细化与保真度（运行时层）原始电压信号 $2.4V$ 经过细化后：

$$ku_{\text{press}} = \langle 120kPa, p_{\text{calib}} \rangle : \textsf{Press}$$

若没有 p_{calib}，就无法构造类型为 Press 的项。

步骤 2：演化与单调性（内核层）内核会更新全局状态 :

$$\sigma_{\text{new}} = \textsf{unify}(\sigma, ku_{\text{press}})$$

先前记录的事实（例如，“泵 A 处于活动状态”）会得到保留。

步骤 3：归约与一致性（核心层）内核会进行评估：

$$\textsf{is\_safe}(v) \equiv (P_L \leq v \leq P_H)$$

对于 $P_H = 110kPa$，无法构造证明项 $p_{\text{safe}} : \textsf{is\_safe(120)}$。系统无法虚假断言安全性。

步骤 4：反思性审计与自愈 生成控制指令 *ctrl*（例如，启动泵B、关闭泵 A），并附上证明：

$$\pi : \mathsf{Id}(\sigma_{\text{fault}}, \sigma_{\text{recovery}})$$

该证明通过核心层约束解释了这一决策。

步骤 5：观察充分性（运行时层）逻辑指令 Close(Pump_A) 被细化为具体的总线信号，从而保证预期的物理效果。

7 KOS-TL 的应用

7.1 应用背景：制造业中的质量异常可追溯性

设想一家大型离散制造企业，其核心挑战如下：

> 当某一批次产品出现严重质量缺陷时，系统能否自动追溯其生产过程，识别与设备、人员或原材料相关的潜在异常，并生成可执行、可解释的因果链？

这一问题具有以下几个典型特征：

- 数据源异构（工单、设备日志、人员排班、质量检验记录）；
- 具有严格的时间顺序和因果约束；
- 推理结果必须直接支持生产决策和责任归属。

该系统涉及以下核心表（来自不同子系统）：

(1) 产品记录：Product(ProductID, Model) (2) 批次记录：Batch(BatchID, ProductID, ProduceDate) (3) 生产线：ProductionLine(LineID, Factory) (4) 工艺路线：ProcessRoute(Model, StepName, StepOrder, TargetLineType) (5) 工艺阈值：ProcessThreshold(Model, StepName, ParamName, MinValue, MaxValue) (6) 步骤执行详情：StepExecution(WOID, StepName, StartTime, EndTime, EquipID) (7) 传感器时间序列：SensorTimeSeries(EquipID, ParamName, Value, Timestamp, DeviceStatus) (8) 工单：WorkOrder(WOID, BatchID, LineID) (9) 操作员：Operator(OperatorID, Name, Role) (10) 操作日志：OperationLog(LogID, WOID, OperatorID, Time) (11) 设备：Equipment(EquipID, LineID) (12) 设备状态：EquipmentStatus(EventID, EquipID, Status, Time) (13) 工艺参数：ProcessParam(LogID, ParamName, Value) (14) 质量检验：QualityInspection(InspectID, BatchID, Result, Time) (15) 缺陷报告：DefectReport(ReportID, BatchID, DefectType) (16) 供应链记录：SupplierPart(PartID, SupplierID, BatchID)

为说明该方法，我们追踪了轴承生产中质量异常分析的因果推理工作流，如表7所示。

通过应用KOS-TL推理，系统返回给用户的不是简单的SQL查询结果，而是一个逻辑证明包。用户打开报告后，系统可以展开 prf_{causal}，并直接定位到与温度波动相对应的原始PLC日志，因为这些日志是构建报告 r 不可或缺的组成部分。

表7：轴承制造业质量追溯的因果推理

Step	系统操作	具体数据示例
输入	质量检验报告异常	批次202310-01于_上的10:00检测到“硬度不均匀”2023-10-10。
Type 实例化	构造 f_{fail}	f_{fail}：故障事件 $=\langle$"B2310"，"HARD_ERR"，10:00$\rangle$
核心推理	搜索因果证据	检索得知该批次经过炉热处理_03 于 08:00，且出现了温度波动 a_{temp} 发生于 07:55。
逻辑综合	构建因果链	$r=\langle f_{fail},\ a_{temp}$，证明项$\mathrm{prf}_{causal}\rangle$。证明项 prf_{causal} 会自动验证 $07{:}55 < 10{:}00$。

7.2 KOS-TL 的应用工作流程

在实际部署中，KOS-TL主要涉及以下阶段：

1. 定义初始原子类型、谓词类型、事件和约束。此部分属于核心 层。这些定义本质上决定了所建模系统的逻辑有效性边界。2. 运行时 层充当系统与外部世界之间的接口。KOS-TL 系统通过运行时获取数据，并将其细化为类型化对象（可进行逻辑操作的实体）。3. 内核 层负责具体的知识操作。

7.2.1 内核层：规则定义与逻辑约束

针对轴承生产质量追溯中的因果推理问题，内核层定义相应的类型和约束。

（1）**基本原子类型**基本原子类型如表8所示，包括批次标识、机器和时间。

表8：领域概念与类型细化关系

定义域概念	逻辑类型（核心）	内核原子类型	细化逻辑
Time	Time	浮点数 / 无符号 64 位整数	直接映射，表示 Unix 时间戳或逻辑时钟。
批次标识	批次标识	值 / 字符串	$\Sigma(s: Val)$。证明$(isIDFormat(s))$
机器	机器	值 / 枚举	$\Sigma(v: Val)$。证明$(v \in EquipRegistry)$

(2) 谓词类型 谓词类型包括：

- InRoute$(b,\ m)$，它定义了是否允许在机器 m 上处理批次 b。
- 重叠$(t,\ dur)$，它定义了时间点 t 是否落在持续时间 dur 内。

(3) 事件与约束

(i) **故障事件类型**(FailEvt) FailEvt $\equiv \Sigma(b:$批次标识$).\Sigma(err:$错误代码$).\Sigma(t:$时间$)$。证明$(t \in$班次$_{QA})$ 这种类型不仅记录了哪个批次发生了故障，还要求证明检验时间处于质量检验班次内。(ii) **工序步骤类型**(ProcStep) ProcStep $\equiv \Sigma(b:$批次标识$).\Sigma(m:$机器$).\Sigma(dur:$时间 $\times$ 时间$)$。证明$(\mathrm{InRoute}(b, m))$

谓词 InRoute 保证批次按照定义的工艺路线在机器 m 上进行加工。

(iii) **环境异常类型**(异常)

$$\text{Anomaly} \equiv \Sigma(m : \text{Machine}).\Sigma(p : \text{Param}).\Sigma(v : \text{Val}).\Sigma(t : \text{Time})$$

(iv) **因果有效性约束** (CausalProof(a, f))

$$\text{isBefore}(t(a)\ t(f)) \wedge \text{isSameResource}(\text{location}(a),\ \text{process}(f))$$

可追溯性被定义为一个证明搜索问题:

$$\forall f : \text{Failure}, \exists(a, \pi) : \Sigma(a : \text{Anomaly}).\text{CausalProof}(a, f)$$

(v) **因果证明**(CausalProof)

CausalProof(a, f) $\equiv \Sigma$(e: 工序步骤)。命题$_{causal}$(a, e, f)，其中命题$_{causal}$ 强制执行:

- 时序逻辑: $a.t \in e.dur \wedge e.dur.end < f.t$;
- 空间逻辑: $a.m = e.m$;
- 批次一致性: $e.b = f.b$。 （vi）**根因报告**(RootCauseReport)

$$\text{RootCauseReport} \equiv \Sigma(f : \text{FailEvt}).\Sigma(a : \text{Anomaly}).\text{CausalProof}(a, f)$$

从语义上看，该定义编码了:

- 存在失败 f;
- 存在物理异常 a;
- 一个见证它们关系的非布尔因果证明。

7.2.2 运行时层：数据采集与精化

运行时层从外部数据库中提取数据，并将其精化为内核级对象，从而使原始数据逻辑化。

典型的源表包括:

- 产品_主数据：工艺路线;
- 执行_日志：工单执行记录;
- 物联网_传感器_流：传感器流;
- 质量_报告：检验结果。

这些数据经过精化后，生成携带证明的对象，例如:

$$f_0 = \text{mkFailure}(\text{批次\_202310-01},\ \text{硬度\_问题},\ 10{:}00,\ \pi_{QA})$$

7.2.3 核心层：证明构造与小步演化

核心层按照内核规则执行证明构造。它通过小步语义运行，逐步演化配置，直至在全局知识库中物化根因报告 。

总之，KOS-TL 将运行时数据采集、内核级逻辑约束和核心级证明合成整合到一个统一的类型安全推理管道中。该系统不会生成不透明的查询结果，而是产生形式化验证且可解释的因果报告，其正确性由构造保证。

7.3 KOS-TL 对业务规则变化的适应

我们继续沿用上一小节中的同一示例——轴承热处理——并假设业务规则变更如下:

为防止回火脆性，如果在热处理过程中发生电压异常 ，系统还必须检查同一时段内的冷却水循环压力 是否异常。只有两种异常同时存在时，才能将该情况归类为严重质量缺陷。

在上一小节介绍的 KOS-TL 框架中，这一更改只需要修改 **核心** 层中 CausalProof 的类型定义。

7.3.1 修改前的类型定义

$$\mathsf{CausalProof}(a, f) \;\equiv\; \Sigma(e : \mathsf{ProcStep}).\ \mathrm{Prop}_{time}(a, e, f)$$

7.3.2 修改后的类型定义（注入新规则）

我们将 CausalProof 重新定义为一种依赖类型，其中必须包含双重异常的证据:

$$\mathsf{CausalProof}(a, f) \;\equiv\; \Sigma(e : \mathsf{ProcStep}).\ \Sigma(w : \mathsf{WaterPressureAnomaly}).\ \mathrm{Prop}_{joint}(a, w, e, f)$$

新约束不仅要求存在电压异常 a，还要求在同一生产过程 e中存在水压异常 w。

核心层中的类型一旦发生变化，就会通过其小步归约逻辑，在 **内核**层自动触发连锁反应:

(1) **构造器失效**。 由于缺少参数（即 w 及其对应的证明），原始构造子 mkCausalProof 在内核中立即无法通过类型检查。(2) **自动触发新搜索**。 检测到目标类型需要水压异常后，内核会自动在环境 σ中的水压数据上启动搜索。

7.3.3 证明合成路径的重组

情况 1（仅电压异常）。 内核找不到匹配的水压异常 w，因此无法构造完整的 π_{causal} 项。推理结果会自动归类为无效。

情况 2（双重异常）。 内核会自动将电压异常、水压异常和生产过程组合成一个新结果 r_{final}。

这项能力的本质是一种极致的类型导向开发，如表9所示。

表9：KOS-TL机制

属性	机制	影响
自愈	如果运行时数据源未提供水压数据，内核会引发“缺失类型”错误，而不是得出错误的结论。	严格保证结论的安全性，并防止盲目追溯ity.
下推逻辑	新规则会沿着标记向下传播。mkCausalProof 的签名向下传播；内核的搜索算法自动检测新的参数要求。	开发人员无需重写搜索算法；算法会自动适应类型变更。
零冗余	无需移除现有的可追溯性代码；一旦被引用类型更新，其行为便会自动改变。	实现真正的“配置即逻辑”。

在此示例中，analyze 函数和 getProductionContext 函数均未修改。只需更改核心层中的类型签名，即可重新定义何为真值的物理边界。

内核层的运行方式就像一台全自动解谜机器：一旦谜题模板（核心）发生变化，它就会自动调整搜索谜题碎片（数据）的策略，以及最终拼装出的图像（结果）。

这是 KOS-TL 在应对复杂且不断演化的工业环境时的核心价值：确保系统逻辑的演化与业务规则的变化之间保持原子级一致性。

7.4 KOS-TL 实现跨域逻辑一致性

KOS-TL 还能进一步实 现跨域逻辑一致性，通过 共享逻辑内核 和跨域类型引用。

在 KOS-TL 中，财务领域和质量域都不会直接访问原始数据库。相反，两个领域都订阅由内核层物化的相同知识对象。

继续前面关于轴承热处理的示例，考虑以下场景 :

如果检测到热处理电压异常（质量风险），则与受影响批次相关的原材料供应商的付款必须自动进入“待审计”状态，并且相应的财务凭证必须包含质量异常的证据（财务风险控制）。

KOS-TL 通过在核心层定义交叉依赖类型 来实现这一要求。

7.4.1 质量定义域中的逻辑扩展

在质量核心层，我们已经定义了

$$r_{quality} : \mathsf{RootCauseReport},$$

这证明电压波动导致了质量缺陷。

7.4.2 财务领域中的类型定义（新）

在财务核心层，我们引入一种新的类型 AuditLock:

$$\mathsf{AuditLock} \equiv \Sigma(inv : \mathsf{Invoice}).\Sigma(r : \mathsf{RootCauseReport}).\mathsf{Proof}(inv.batch = r.f.b)$$

财务对象 AuditLock 的构造子必须 要求输入 r： RootCauseReport。若未生成质量报告 r，财务层便无法构造有效的审计锁对象。
质量追溯完成后，内核状态 σ 中会添加一个新项 r_{final}。此时，跨领域逻辑引擎会自动触发下一个归约步：

- **财务观察器已触发：** 财务系统的 analyzeAudit 过程检测到 σ 中存在一份与发票 inv_{01}属于同一批次的质量异常报告 r_{final}。
- **跨领域项组合：** 通过合一，内核将质量领域证据 r_{final} 直接注入财务领域的 AuditLock 对象。

- **原子更新：**

$$\langle \sigma, \mathsf{FinanceGoal} \rangle \xrightarrow{\text{small}} \langle \sigma \cup \{\mathsf{lock}_{01}\}, \mathsf{unit} \rangle$$

其中

$$\mathsf{lock}_{01} = \langle inv_{01}, r_{final}, \pi_{match} \rangle.$$

在 KOS-TL 的跨域架构中，财务过程 analyzeAudit 并不是一个孤立的软件模块。相反，它是挂载在共享逻辑内核上的一个 谓词监听器 。其核心职责是监测状态 σ 的演化，并在特定的财务—质量跨域约束 得到满足时，自动推导出审计操作。

7.4.3 analyzeAuditFunction

在核心层，ana lyzeAudit 被定义为一个高阶函数，其目的在于构造一个审计锁定项 :

$$\mathsf{analyzeAudit} : \Pi(inv : \mathsf{Invoice}) \to \mathsf{Option}(\mathsf{AuditLock})$$

其内部推导逻辑遵循以下规则：

$$\frac{inv \in \sigma \quad \exists r : \mathsf{RootCauseReport\ s.t.\ Unify}(inv.batch, r.f.b)}{\mathsf{derive}(\mathsf{AuditLock}(inv, r))}$$

- **输入：** 待处理的财务发票 inv。
- **触发条件：** 内核状态中存在一份质量报告 r，其批次与该发票的批次统一。
- **输出：** 若条件成立，则生成一个包含质量证据的审计对象；否则返回 None。

当生产线上发生电压波动并生成质量报告时，analyzeAudit 在内核层经历以下演化：

步骤 1：跨域检测 内核检测到新近物化的 r_{final}。由于 analyzeAudit 订阅了 BatchID类型的变更，因此会立即激活。

步骤 2：依赖关系提取 使用索引 inv.batch，程序定位到相关的财务发票。例如：

$$\text{Batch\_10-01} \longrightarrow \text{Inv\_2023\_009 (Supplier: SteelCo)}$$

步骤 3：证明透明性 这是最关键的步骤。analyzeAudit 不仅仅是标记问题；它会直接引用来自质量域的证明对象 π_{causal}：

$$\mathsf{lock}_{item} = \langle \mathsf{Inv}_{009}, r_{final}, \pi_{match} \rangle$$

这意味着，财务系统现在持有质量异常的物理证据，例如电压曲线和计算记录。

步骤 4：行动实例化 一旦 lock_{item} 在内核中实例化，运行时层财务插件便会捕获这一状态变化，并立即在 ERP系统中执行以下动作：

- **暂停付款：** 冻结 Inv_2023_009的结算。
- **审计背书：** 自动将 r_{final} 的逻辑轨迹附加到发票上以供审核。

算法 1 KOS-TL 跨域审计流程：analyzeAudit(r_{final})

要求： 新近物化的根 -因报告 r $_{final} = \langle f, a, e, \pi_{causal} \rangle$ ： 根因报告 **告 确保：审计锁定项 AuditLock 或 ∅1：步骤 1：跨域检测 2：监控内核状态** σ**；在** r_{final} **物化时触发。 3：提取批次索引：** $b \leftarrow r_{final}.f.b$ **{**$BatchID$ **作为跨域合一的唯一键} 4：步骤 2：依赖关系提取 5：从财务状态**σ_{fin}**中检索相关发票：6：** $inv \leftarrow \{i \in \sigma_{fin} \mid i$ **：发票 ∧ 合一(**$i.batch$**,** b**)}7：如果** $inv = \emptyset$**则 8：9：返回 ∅10：结束如果 11：步骤 3：证明透明性 12：构造证明谓词** π_{match}**， 关联** inv **和** r_{final}**。 13：引用质量证明：** $\pi_{ref} \leftarrow r_{final}.\pi_{causal}$**14：实例化审计锁：** $lock_{item} \leftarrow \langle inv, r_{final}, \pi_{match}, \pi_{ref} \rangle$**15：步骤 4：操作物化 16：原子物化：** $\sigma \leftarrow \sigma \cup \{lock_{item}\}$ **17：执行 FreezePayment(**inv**) 18：执行 AttachEvidence(**inv, r_{final}**.轨迹) 19：返回** $lock_{item}$

假设新增一条 财务规则：“只有在估算质量损失超过 *s* 20%发票金额的 数量。

在 KOS-TL 中，只需在 analyzeAudit 的定义中添加一个逻辑谓词：

$$\mathsf{Proof}(r.loss\_estimate > inv.total \times 0.2)$$

即使生成了质量报告，如果估算损失不足，analyzeAudit 中的合一也会失败，财务系统会自动维持正常结算状态。这种逻辑下推确保财务决策在数学上与生产线的物理现实保持一致。

7.5 KOS-TL 中的反事实推理

在 KOS-TL 中，反事实推理并非通过猜测实现，而是通过对**并行状态空间**进行内核级仿真来实现。

7.5.1 KOS-TL 如何定义反事实

在传统人工智能中，反事实通常表示为形式为 $P(y \mid do(x))$ 的概率查询。与此不同，KOS-TL 将反事实定义为对虚拟配置的求值：

“如果在状态 σ_0 中，事实 a （电压波动）没有发生，那么 r_{final} （故障证明）是否仍可在内核中实例化？”

7.5.2 实现机制：虚拟上下文

KOS-TL 通过对上下文 Γ 进行分支来实现反事实推理。

- **影子状态构造（σ'）：** 内核复制当前知识库 σ_0，但会有选择地移除或修改某个特定事实（例如，移除 a_{volt}）。
- **假设性评估：** 在新的配置下重新启动小步求值

$$\langle \Gamma, \sigma', \mathsf{analyze}(f_0) \rangle.$$

- **引理比较：** 如果求值归约为 $\bot$ （空类型），则 a_{volt} 是f_0 的必要条件（必要因果关系）。如果求值仍能生成 r'_{final}，则存在冗余因果关系，或者 a_{volt} 仅仅是混杂噪声。

7.5.3 反事实推理的三个应用场景

A. 根因敏感性分析 问题：如果电压波动只有 2% 而不是 10%，硬度是否仍会不符合规格?

内核操作：修改 a_{volt} 在 σ 中的值，并观察 mkCausalProof 是否仍通过物理阈值检查（在 C ore 层定义）。

B. 责任归属 问题： 如果没有使用供应商 A 提供的这批原材料，仅熔炉 M 03 的波动是否仍会导致失败? _

内核操作： 在虚拟环境中移除原材料事实，并观察证明链是否会崩溃。这直接为上层 analyzeAudit 过程中的恢复与赔偿逻辑提供支持。

C. 预防性模拟 问题： 如果明天将熔炉 M_03 的功率提高 5%，是否会引发类似的失败 f_0?

内核操作： 这种前瞻性反事实 允许系统在任何物理事故发生之前，先在逻辑空间中完成一次“虚拟事故”。

7.5.4 逻辑表述

在 KOS-TL 的形式语言中，反事实推理通常写作：

$$\mathcal{C} \vdash \neg a \;\Rightarrow\; \neg(\exists \pi : \mathsf{Proof}(f))$$

也就是说，在当前配置下，可以证明如果 a 不存在，则无法为 f 实例化任何证明对象。

7.5.5 构造与验证解耦

在分析函数中， r_{final} 确实是包含 a_{volt}的候选构造。而反事实推理则会询问：

“如果从公理系统中移除原子事实 a_{volt}，是否仍能构造出另一个指向f_0的有效证明 π'？”

- 如果是，那么尽管 a_{volt}存在于 r_{final}中，它也只是充分但非必要的条件（或多重因果关系的一部分）。
- 如果不是，那么 a_{volt} 就是一个必要条件。

7.5.6 内核的并行空间机制： σ 与 $\sigma \setminus \{a\}$

在反事实过程中 推理时，内核并不处理单个三元组，而是生成一个环境切片。

- **实际轨迹：**

$$\langle \Gamma, \sigma, f_0 \rangle \;\Rightarrow\; r_{final} \quad (\text{containing } a_{volt})$$

- **反事实轨迹：**

$$\langle \Gamma, \sigma \setminus \{a_{volt}\}, f_0 \rangle \;\Rightarrow\; \bot \quad (\text{derivation collapses})$$

当反事实轨迹归约为 $\bot$（底类型 / 空集）时，它会在逻辑上强化实际轨迹的权威性。在逻辑中，这称为否定式肯定。

7.5.7 类型理论中的消去规则

反事实推理实际上是在计算贡献：

$$\mathsf{Contrib}(a, f) \iff (\sigma \vdash f) \wedge (\sigma \setminus \{a\} \nvdash f)$$

此处，$\nvdash$ 表示：如果没有 a，剩余的知识库就无法推导出失败 f 的证明。

如果此条件成立，就可以排除这种可能性：即使没有电压波动，硬度仍会因其他原因而下降。

7.5.8 多原因示例

假设 ，除了电压波动（a_1）之外，原材料（a_3）中还含有过量杂质).

- **初始推导：** 得出两份候选报告： r_1（a_1）和 r_3（a_3）。
- **反事实测试：** – 移除 a_1；如果 a_3 仍能推导出失败，那么 a_1 就不是唯一的根本原因。– 移除 a_3；如果推导仍然成立，那么 a_3 很可能只是噪声。

7.6 逻辑即系统内核

通过 在上述推理过程中，KOS-TL 作为逻辑系统展现了其核心优势：

1. **以构造作为证据**：生成的根因报告并非仅仅是一段文本。它包含指向原始设备日志和质量检验记录的指针，以及完整的逻辑证明链，从而为<style id='3'>可解释性提供了硬性保证。2. **状态保持**：在每次小步转换中，内核都会验证 $Post$ 约束。如果追溯结果违反物理逻辑（例如，原因发生在其结果之后），则该转换会失败，从而确保系统状态始终处于逻辑一致的空间内。3. **计算完备性**：不同于采用开放世界假设的描述逻辑，KOS-TL 在内核层面利用强规范化来保证：任何追溯程序都会在有限步骤内，要么得出明确的因果结论，要么报告证据不足。

在这个示例中，KOS-TL 将质量追溯从<style id='1'>事后审计转变为<style id='3'>实时逻辑演算。系统并不是在询问“它为什么失败”，而是试图为“失败本身”构造完整的逻辑证明。这种从<style id='5'>真值判断到<style id='7'>证明构造的范式转变，使制造业中的复杂知识管理具备了操作系统级严谨性。

本节通过一个大规模制造业质量异常分析场景，说明 KOS-TL 如何将异构业务表映射为依赖类型，并通过小步操作语义实现自动知识推导与因果追踪。

“KOS-TL 的设计目的不仅是描述世界，更是运行一个以知识为内核、逻辑闭环的操作控制系统。”

在 KOS-TL 中，知识推导本质上是构造和应用高阶函数的过程。

传统系统使用硬编码函数处理数据。相比之下，KOS-TL 体现了一种理念：数据驱动逻辑项的合成，而这些逻辑项进而构成具备推理能力的派生函数体。这种“数据派生函数”机制可以从以下三个维度来理解。

表10：描述逻辑（DL）与 KOS-TL 的根本区别

维度	描述逻辑（DL）	KOS-TL
核心范式	静态本体一致性	动态操作语义
逻辑属性	真值评估	证明构造
时间处理	外部扩展（时序描述逻辑）	内在时间顺序约束
应用目标	知识描述与查询	知识操作系统内核

7.6.1 从数据元组到证明项

在运行时层，(批次_202310-01, 10:00) 等原始数据仅仅是被动信息。然而，在精化过程中，它会被封装为带有逻辑签名的 Σ-项。

本质：从内核的视角来看，这些项不再是简单的“值”，而是可组合的小型函数片段。例如，由 e_{proc} 携带的证明 π_{route} 本身就是一个能够证明“路线有效性”的逻辑函数。

7.6.2 将动态生成的因果链视为函数复合

看似是分析函数或构造根因报告的过程，实际上是内核根据实时数据动态复合出一个新的逻辑函数。

过程：当内核检测到 a_{volt} 与 f_0匹配时，它不会只是将二者连接起来，而是会构造一个新的 λ 项：

$$\lambda(t).\ \mathsf{proof\_of\_overlap}(t, e_{proc}.\mathsf{dur})$$

含义：新生成的逻辑项 π_{final} 是一个专用函数，专门用于解释特定机器在特定时间发生的这一特定硬度缺陷。

7.6.3 三层架构中的推导职责划分

此示例展示了函数如何在不同层之间“流动”并“物化 ”：

表11：轴承案例中的层与推导的本质

层	推导的本质	轴承案例中的体现
Core	定义了函数的“空间”	定义高阶模板 mkCausalProof，指定函数所需的输入和输出类型。
运行时	提供“操作数” of 函数	从 SQL 表中提取具体值，并将其精化为具有逻辑意义的原子事实（例如，f_0，a_{volt}）。
内核	执行函数“求值”	通过小步语义，将碎片化数据填入核心层模板中，从而具体化一个因果证明函数 R。

7.6.4 为什么称之为“推导”?

在传统软件中，若要添加诸如“电压波动导致硬度不均匀”这样的追踪逻辑，就需要手动编写类似 checkVoltage() 的函数。

相比之下，在 KOS-TL 中，只需在核心层定义通用因果原理（例如 $t(a) < t(f)$ 以及物理相关性）。当批次 _202310-01 的特定电压数据进入系统后，内核便会使用这些数据推导出一个针对该批次的专用证明函数实例。

7.6.5 结论

函数并非预先编写且固定不变，而是根据当前系统状态 σ和观测事实 f动态推导出的逻辑结果。

这个示例完美体现了“证明即程序”的理念：推导出质量根因的证明，等同于推导出能够解释该失败的逻辑函数。数据（电压、时间、批次）不再只是待处理的对象；它们成为解释该事件的逻辑函数本身的构建模块。

8 结论

8.1 哲学范式：从“真值理论”到“可执行规范”

自弗雷格以来，传统逻辑（一阶逻辑、描述逻辑）的核心一直是静态真值赋值（$\mathcal{M} \models \varphi$），旨在刻画世界是什么样子。KOS-TL 明确摒弃了这种“单模型中心主义”，并实现了逻辑角色的根本转变：

- **基于状态的语义**：语义的基本单位不再是永恒不变的模型，而是动态演化的状态序列（$\sigma_0 \to \sigma_1 \to \ldots$）。逻辑判断的重点从“命题是否为真”转向“状态转换是否有效”。
- **建构主义立场**：继承马丁-洛夫类型论的精髓，将“命题即类型，证明即程序”这一原则推广为“知识即类型、操作即程序、事件即构造子”。在 KOS-TL 中，知识是否存在取决于它能否被构造，这使系统在哲学上自洽且透明。
- **知行合一**：逻辑不再仅仅是描述性的，而是成为一种可执行规范系统。它不仅刻画真值，还规定知识如何被操作、更新和执行，从而弥合逻辑推理与物理动作之间的鸿沟。

8.2 逻辑特征：事件驱动推理与操作语义的融合 cs

KOS-TL 的核心创新在于将操作语义引入逻辑核心，从而实现“作为推理的计算”：

- **事件作为一等构造子**：不同于描述逻辑中的被动事实记录，KOS-TL 中的事件充当理解与动作之间的纽带。它们是类型论中的构造子，定义对象生成的合法机制，并为处理时间敏感性、因果关系和状态转换奠定基础。
- **操作性推导规则**：推导规则不再只是保持真值，而是成为操作性规范。它们定义系统如何在特定的上下文和时间约束下，合法地生成新的语义标注（例如风险警报）。这种规范性立场使系统能够针对不同场景展现不同的推理策略，同时具备高度的灵活性和可解释性。
- **小步操作语义**：逻辑判断采用形式化形式 $\langle \Sigma, c \rangle \to \Sigma'$。这种细粒度演化使 KOS-TL 能够在知识库内精确管理单调性和资源消耗，使其更接近一台“因果推理计算机”。

8.3 系统能力：计算反思型自主性与可审计性

在 KOS-TL 中，自反性从一种编程技术提升为一种形式化的自我内省方式：

- **作为证明的自我认证计算**：基于 Curry–Howard对应，在每个计算步骤（归约）中，内核都会同时合成一份等价性证明（恒等证明）。因此，每个步骤都会留下不可变的逻辑印记，证明系统行为符合预定义公理。
- **端到端逻辑可审计性**：借助自反性，审计不再依赖外部文本日志，而成为实时的数学验证过程。证明链的完备性直接决定系统状态的合法性，从而实现“透明治理”。
- **逻辑自检与修复**：自反性使内核能够“回顾”决策路径，在出现矛盾时定位公理冲突，并触发自修复算子，为系统自主运行奠定基础。

8.4 工程范式：拓展类型驱动开发的边界

KOS-TL 将类型系统从“内存安全工具”提升为一组“系统自主性公理”，为现代系统设计提供关键见解：

- **从类型安全到逻辑确定性**：通过双向物理–逻辑精化类型，将物理定律和业务规则内化为类型属性。这些“携带证据的类型”确保在设计层面无法表示非法状态。

• **持久化依赖类型存储**：摆脱将数据库视为原始字节堆的做法，使存储成为类型系统在运行时的扩展。类型上的单调性约束管理数据生命周期，并确保知识演化中的因果一致性。

• **跨层逻辑透镜（精化透镜）**：通过严谨的双向精化映射，KOS-TL 弥合了高层业务实体（例如“合规转账”）与底层物理存储（例如 SQL记录）之间的鸿沟，确保每个物理动作都忠实体现高层逻辑意图。

8.5 KOS-TL 的本质

KOS-TL 是一种逻辑系统，无缝融合了直觉主义类型论的构造性语义、操作语义与知识工程实践。它不仅仅是一系列算法，而是**“系统宪章”**。

它表明，借助依赖类型（Π 和 Σ）、事件构造子与自反性，可以构建一种逻辑上自洽、因果可追溯且与物理世界紧密契合的智能自主系统。在这一框架中，证明从简单的正确性检查演变为复杂现实系统决策的核心驱动力。

参考文献

唐纳德·戴维森。行动句子的逻辑形式。载于尼古拉斯·雷舍尔编，《决策与行动逻辑》，第81–95页。匹兹堡大学出版社，1967年。佩尔·马丁-洛夫。《直觉主义类型论：乔瓦尼·桑宾笔记》。Bibliopolis，1984年。J.-Y. Girard、Y. Lafont 和 P. Taylor。《证明与类型》。剑桥大学出版社，1989年。